

2020

093 – Bacino Idrografico del Fiume San Leonardo

PROF. ING.
GABRIELE FRENI

[COMPANY NAME] | [Company address]

Indice

1	<i>Premessa</i>	2
2	<i>Sintesi dell'inquadramento morfologico e territoriale.....</i>	3
3	<i>Valutazione delle variabili climatiche e di consumo di suolo</i>	11
4	<i>Valutazione della suscettibilità dei bacini alle piene lampo.....</i>	21
5	<i>Valutazione della suscettibilità delle piene ai trend climatici</i>	34
6	<i>Modifiche alle misure di piano</i>	36
	6.1	Aggiornamento della valutazione dei punteggi tecnici alle misure inserite nel piano in relazione alla valutazione del cambiamento climatico.....36
	6.2	Proposta di nuove misure per la mitigazione delle piene lampo e dell'impatto del cambiamento climatico.....36

1 Premessa

L'appendice alla relazione fornisce, per ciascun bacino o area territoriale omogenea, l'inquadramento morfologico utile alla valutazione del rischio di piene lampo attraverso l'applicazione della metodologia geomorfologica Arno (Brugioni et al., 2010)¹. Per una più ampia discussione sulle caratteristiche morfologiche e sull'inquadramento geografico ed amministrativo del bacino, si rimanda alla relazione generale del Piano di Gestione del Rischio Alluvioni.

In particolare, successivamente alla delimitazione di tutti i sottobacini con superficie superiore ai 2 kmq e, in generale, inferiore ai 15 kmq, si è proceduto alla valutazione degli indicatori morfologici utili alla stima del rischio di piene lampo: l'area del sottobacino ed il tempo di lag. E' stata quindi analizzata la variabile indice idrologica (il tempo di ritorno delle piogge intense di durata pari ad un'ora e volume pari a 50mm) che è stata considerata un'adeguata "proxy" della frequenza con cui si manifestano eventi meteorici brevi ed intensi che possono determinare piene lampo. Infine, come ulteriore fattore predisponente, si è adoperato il grado di consumo di suolo per ciascun sottobacino espresso come il rapporto tra l'area consumata e l'area totale. Questi ultimi due indicatori, essendo soggetti a variabilità nel tempo per variazioni climatiche o per intervento antropico, sono stati valutati nelle condizioni attuali e nello scenario di medio periodo al 2050. Per ciascun fattore sono state determinate 4 classi attribuendo un punteggio da 1 a 4 dove i valori più bassi rappresentano una condizione di minore suscettibilità al fenomeno delle piene lampo. E' stata poi effettuata una media aritmetica dei punteggi per ciascun bacino reputando che i fattori siano equipollenti nella determinazione del rischio di piene lampo.

Per i tratti fluviali caratterizzati da bacini drenati di maggiori dimensioni, si è proceduto ad una seconda analisi di valutazione dell'impatto del cambiamento climatico valutando il tempo di corrivazione (in analogia alla metodologia Arno) per il bacino drenato da ciascuna asta fluviale e assumendo come variabile di riferimento la variazione media areale (allo scenario 2050) delle altezze di pioggia di massima intensità annua e durata più prossima al tempo di corrivazione.

A seguito delle valutazioni analitiche, un apposito paragrafo evidenzia l'opportunità di integrare le misure previste dal piano con azioni specifiche volte alla mitigazione del rischio di piene lampo e dell'impatto del cambiamento climatico.

¹ M. Brugioni, B. Mazzanti and S. Franceschini (2010). How meaningful is flash flood risk mapping? - Arno River Basin Authority. WG F Thematic Workshop on Implementation of the Floods Directive 2007/60/EC "FLASH FLOODS AND PLUVIAL FLOODING", 26th – 28th May 2010, Cagliari, Italy.

2 Sintesi dell'inquadramento morfologico e territoriale

Il bacino idrografico del fiume San Leonardo ricade nel versante orientale della Sicilia. La morfologia della suddetta area comprende zone collinari a sud, sud-est e ad est degli abitati di Lentini e Carlentini e depressioni nella parte ad est degli ex pantani di Lentini ed immediatamente a nord di Lentini, dove scorre il fiume San Leonardo. L'aspetto morfologico dell'area è legato sia alle caratteristiche litologiche e giaciture delle formazioni affioranti, sia agli eventi tettonici che hanno influenzato i caratteri evolutivi e le forme delle strutture, il cui orientamento preferenziale, da sud-ovest verso nord-est, segue quello delle grandi linee dislocative.

Il bacino del Fiume San Leonardo è costituito in buona parte da formazioni vulcaniche (tufi, piroclastici e lave) e da formazioni calcaree (calcari e marne calcaree) a permeabilità elevata per porosità e/o fratturazione.

L'idrografia è rappresentata da una serie di corsi d'acqua che presentano un regime tipicamente torrentizio, con deflussi superficiali solamente nella stagione invernale, in occasione di precipitazioni intense e di una certa durata, che invece si presentano completamente asciutti nel periodo estivo, per la scarsa piovosità e l'alta temperatura che favorisce l'evaporazione. Il deflusso superficiale è limitato, oltre che dalle cause climatiche, dalla discreta permeabilità delle formazioni affioranti, la quale è dovuta anche ad una serie di fratturazioni che facilitano l'infiltrazione nel sottosuolo delle acque piovane. La parte più a monte è costituita prevalentemente da alvei a fondo fisso, dove il letto si è impostato in rocce competenti ed è quasi privo di sedimenti, escluso in brevi tratti ove in passato si sono avute grandi piene. Generalmente sono alvei con pendenze elevate, di non grandi dimensioni, in erosione più o meno accentuata.

Andando da monte verso valle, per la diminuzione di pendenza e la conseguente diminuzione di velocità, l'alveo dei vari torrenti si trasforma a fondo mobile, con conseguente deposizione di sedimenti, costituiti principalmente da elementi vulcanici e calcarenitici. L'asta del corso d'acqua principale nel suo tratto finale ha sviluppato un alveo di tipo meandriforme. Il Fiume San Leonardo riceve le acque di diversi affluenti tra cui: Fiume Reina, che nasce presso Poggio Conventazzo in territorio di Vizzini con il nome di torrente Risicone e confluisce in destra presso Case del Biviere in territorio di Lentini; Fiume Ippolito, che nasce presso il centro abitato di Militello in Val di Catania e confluisce in sinistra presso Case Conte in territorio di Lentini. La parte terminale del fiume San Leonardo è stata oggetto di interventi di arginatura che, tra l'altro, hanno bonificato le terre occupate dal pantano Gelsari, sia in destra che in sinistra d'alveo.

Qui sono stati realizzati dei canali di bonifica che convogliano le acque raccolte a due impianti idrovori che le recapitano nel fiume. Queste due aree, di superficie complessiva di circa 23 kmq, sono state considerate appartenenti al bacino.

La Tavola 1 inquadra territorialmente il bacino e ne fornisce alcune caratteristiche salienti. La Tavola 2 fornisce il dato relativo all'altimetria sulla base del Modello Digitale delle Elevazioni recentemente predisposto dal Dipartimento dei Servizi Tecnici Nazionali e avente risoluzione spaziale pari a 10 m.

Le successive Tavole 3, 4 e 5 definiscono le funzioni di:

- Lunghezza dei percorsi di drenaggio dalla displuviale alla foce

- Flow Accumulation ovvero la superficie del bacino drenato da ciascun elemento del reticolo idrografico delineato
- Le pendenze dei versanti

L'insieme di questi elementi morfologici ha consentito di individuare i sottobacini drenati da ciascuna porzione del reticolo idrografico ed aventi superficie minore di 15 km². Complessivamente sono stati individuati 149 sottobacini su cui si è proceduto, nel paragrafo successivo a stimare i fattori predisponenti al rischio di piene lampo catalogando i sottobacini in 4 classi di Suscettibilità.

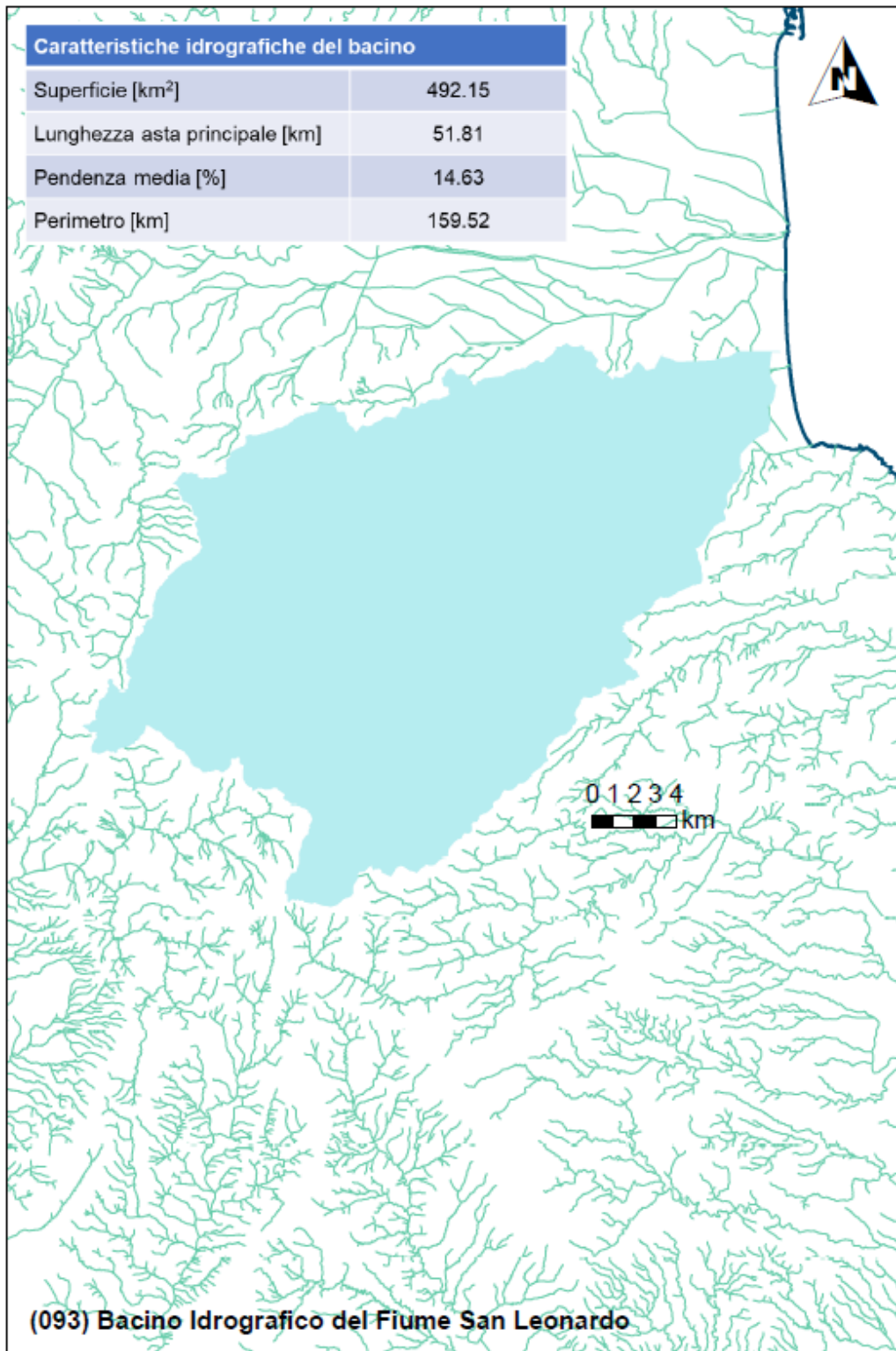


Figura 1 Inquadramento Territoriale del bacino

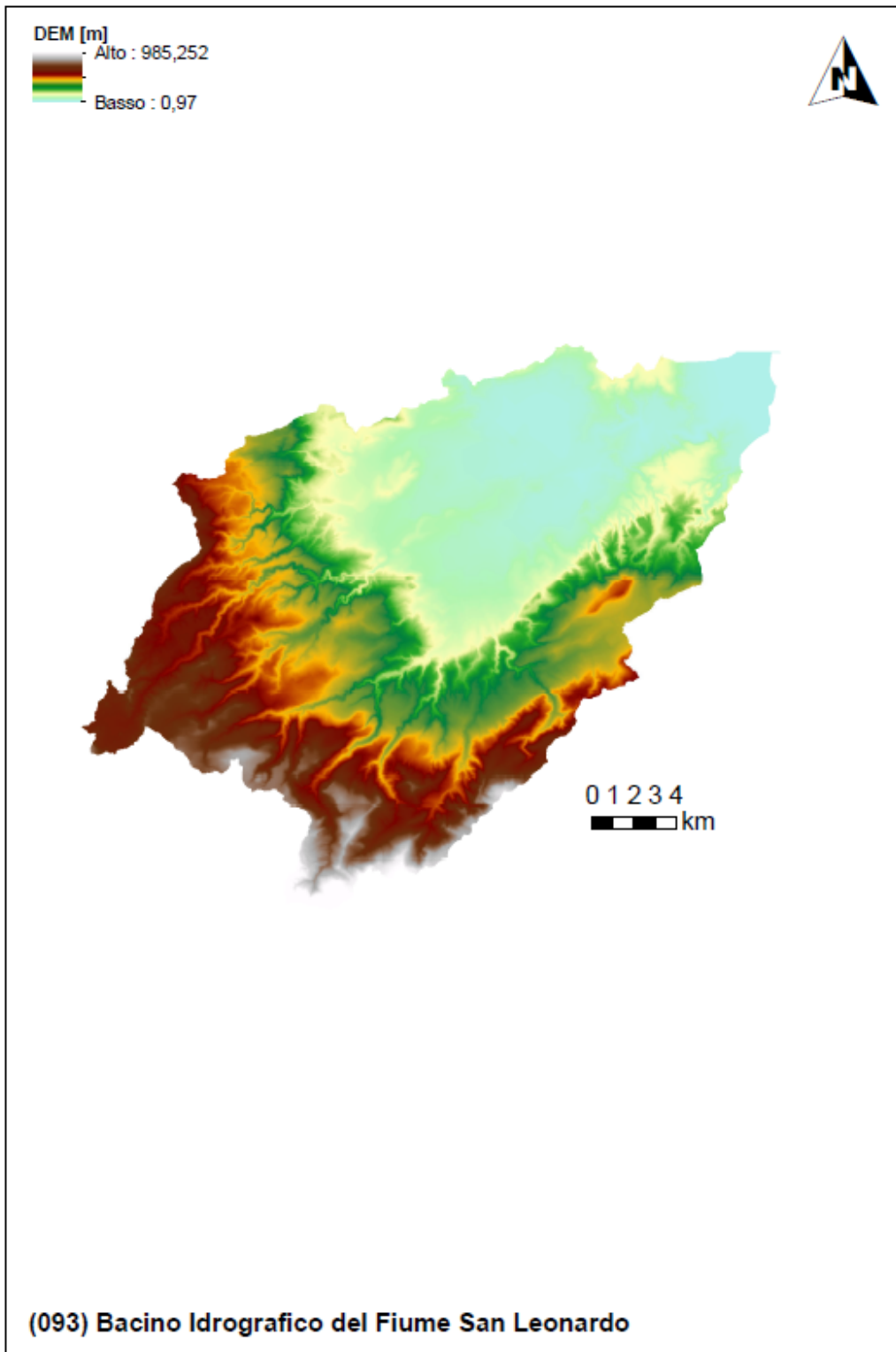


Figura 2 Modello digitale delle elevazioni con risoluzione spaziale pari a 10 m

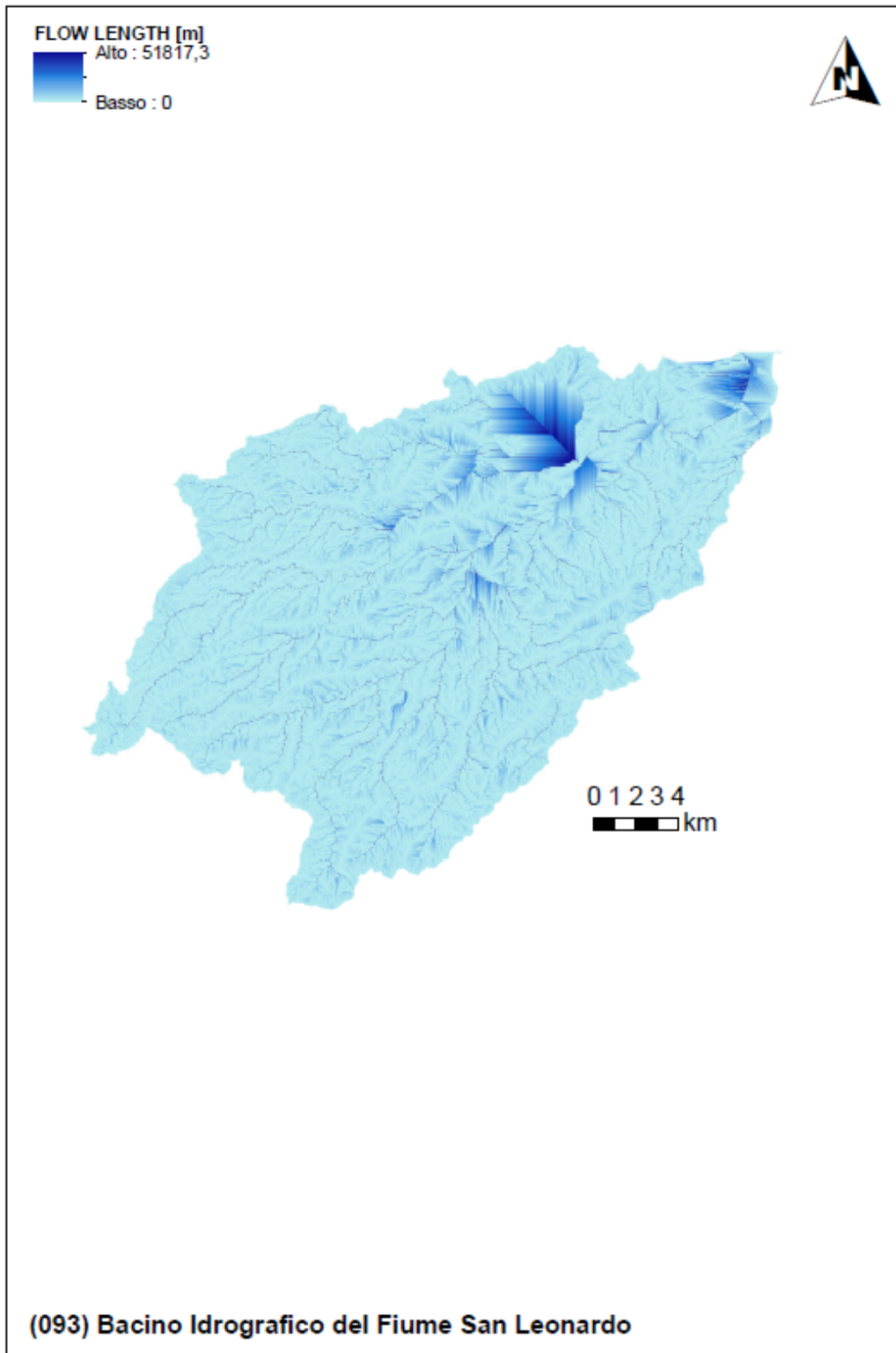


Figura 3 Lunghezze dei percorsi di drenaggio sulla base del modello digitale delle elevazioni

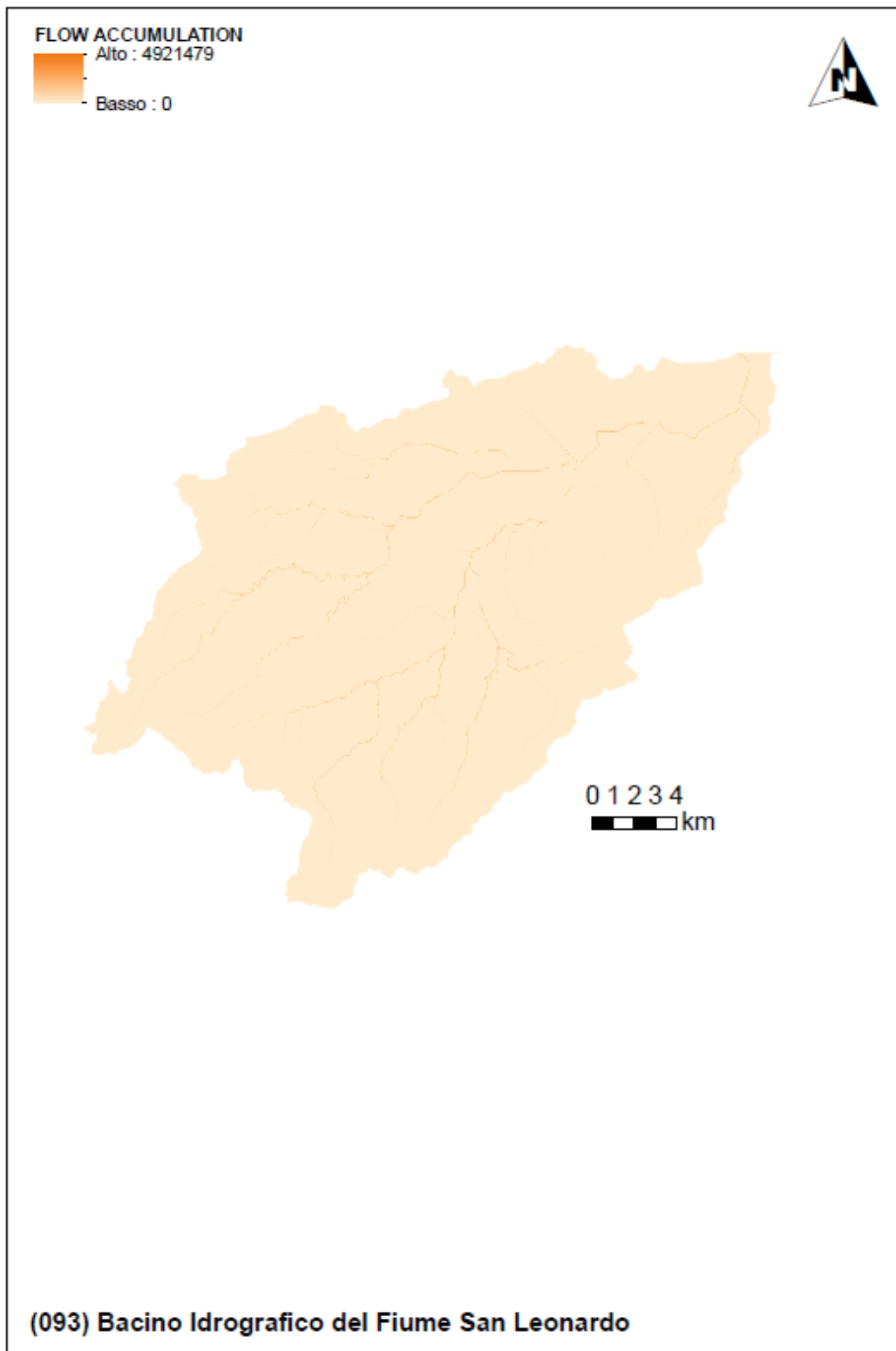


Figura 4 Funzione Flow Accumulation del bacino

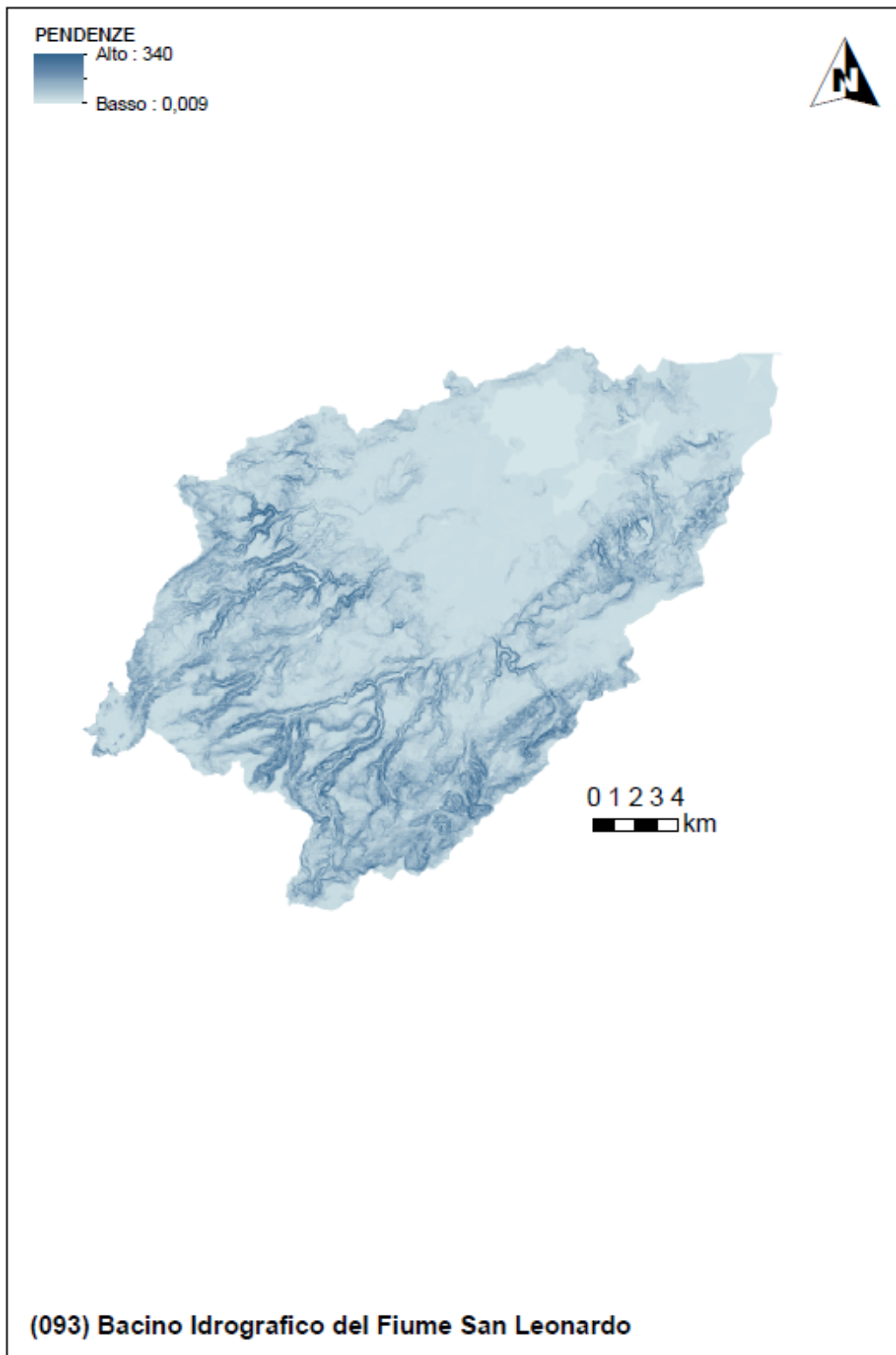


Figura 5 Carta delle pendenze [%] sulla base del modello digitale delle elevazioni con risoluzione spaziale pari a 10 m

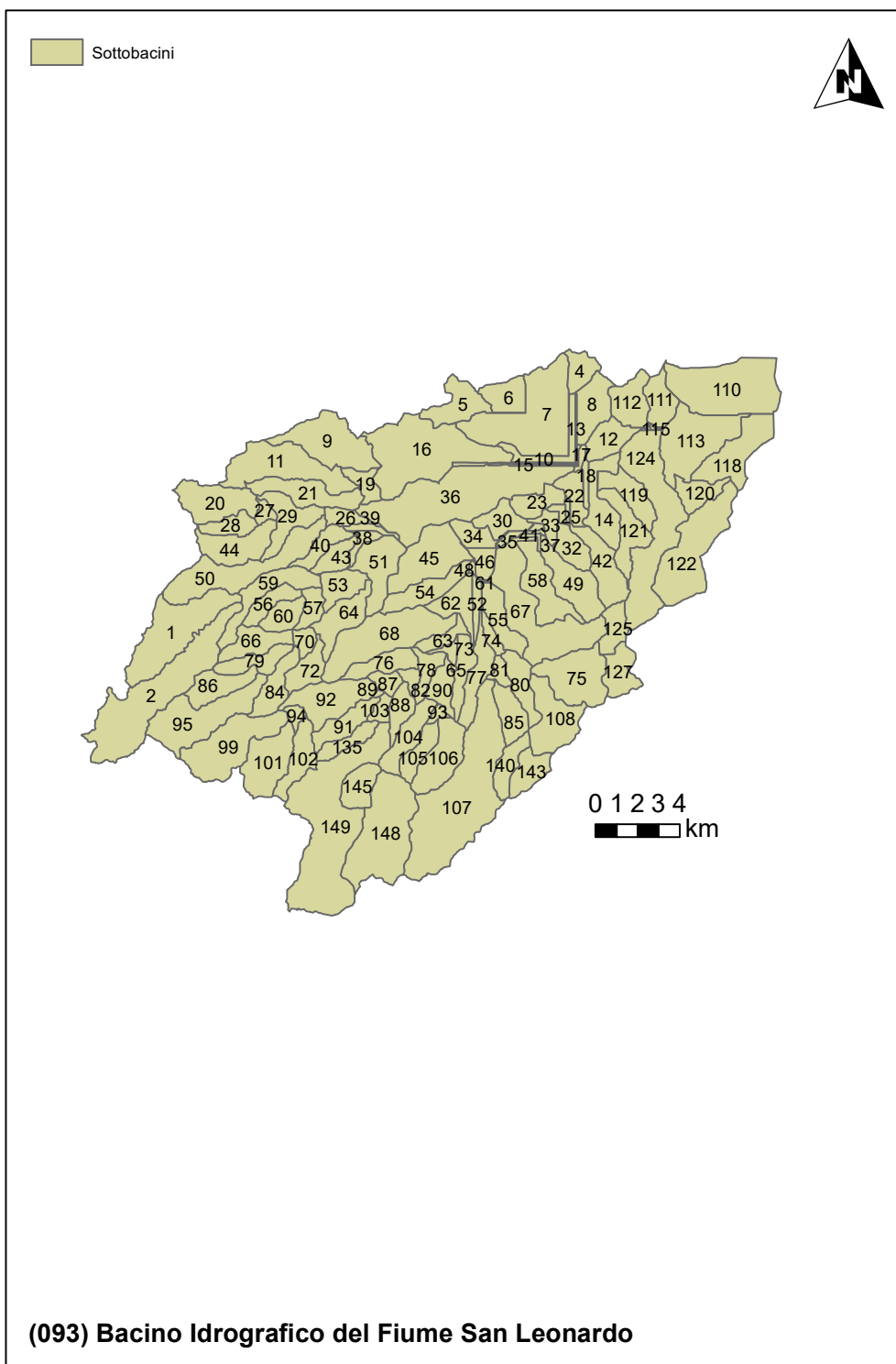


Figura 6 Delimitazione dei sottobacini sulla base delle caratteristiche morfologiche e della densità di drenaggio

3 Valutazione delle variabili climatiche e di consumo di suolo

Come ampiamente discusso nella relazione generale, l'analisi climatica è stata sviluppata in due fasi:

- L'analisi del trend sul tempo di ritorno della variabile indice (altezza di pioggia pari a 50 mm in un'ora) stimato attraverso l'applicazione della GEV a subset di dati di dimensioni progressivamente crescenti inglobando gli ultimi dati registrati disponibili;
- L'analisi del trend climatico sulle serie di piogge di massima intensità annuale e fissata durata.

La prima analisi è stata effettuata perché funzionale alla stima del rischio di piene lampo e dell'evoluzione di tale rischio nello scenario di cambiamento climatico di medio termine (2050).

I tempi di ritorno risultano medio-bassi (in generale inferiori a 25 anni) e con una rilevante variabilità sul territorio del bacino incidendo negativamente sul rischio di piene lampo nel bacino. L'effetto di trend solo parzialmente significativi determina un impatto modesto ma comunque presente nello scenario di medio termine con un'ulteriore riduzione dei tempi di ritorno della pioggia indice.

La seconda analisi è stata effettuata perché funzionale alla stima dell'impatto climatico sulle altre piene che possono interessare il reticolo idrografico (per bacini superiori a 2 km²).

I trend riscontrati nei dati frequentemente significativi (con livello di significatività pari a 0.05) e con andamento altalenante tra valori positivi (riscontrati in alcuni pluviometri) e negativi (riscontrati in altri prossimi alla foce). L'impatto complessivo è comunque positivo (con tendenza alla crescita soprattutto delle piogge intense di maggior durata) ma con una tendenza media abbastanza debole.

L'analisi climatica finalizzata alla valutazione del rischio di piene lampo è stata anche integrata con la valutazione del consumo di suolo ad oggi (dati 2019) e, sulla base della tendenza media del periodo 2012 – 2019, allo scenario di medio termine (2050).

I dati mostrano un consumo di suolo significativo soltanto nei sottobacini più prossimi alle aree urbane con incidenze variabili tra il 20% ed il 60% del suolo del bacino già consumato. Le aree rurali evidenziano, per lo più, consumi minimi e spesso inferiori al 5%.

Il trend di consumo del suolo è complessivamente molto modesto e raramente superiore al 2% nel passaggio dallo scenario attuale allo scenario al 2050 che rappresenta un valore comunque modesto sebbene positivo.

Le seguenti tavole riportano i risultati delle elaborazioni sul bacino che saranno poi utilizzate per le successive valutazioni.

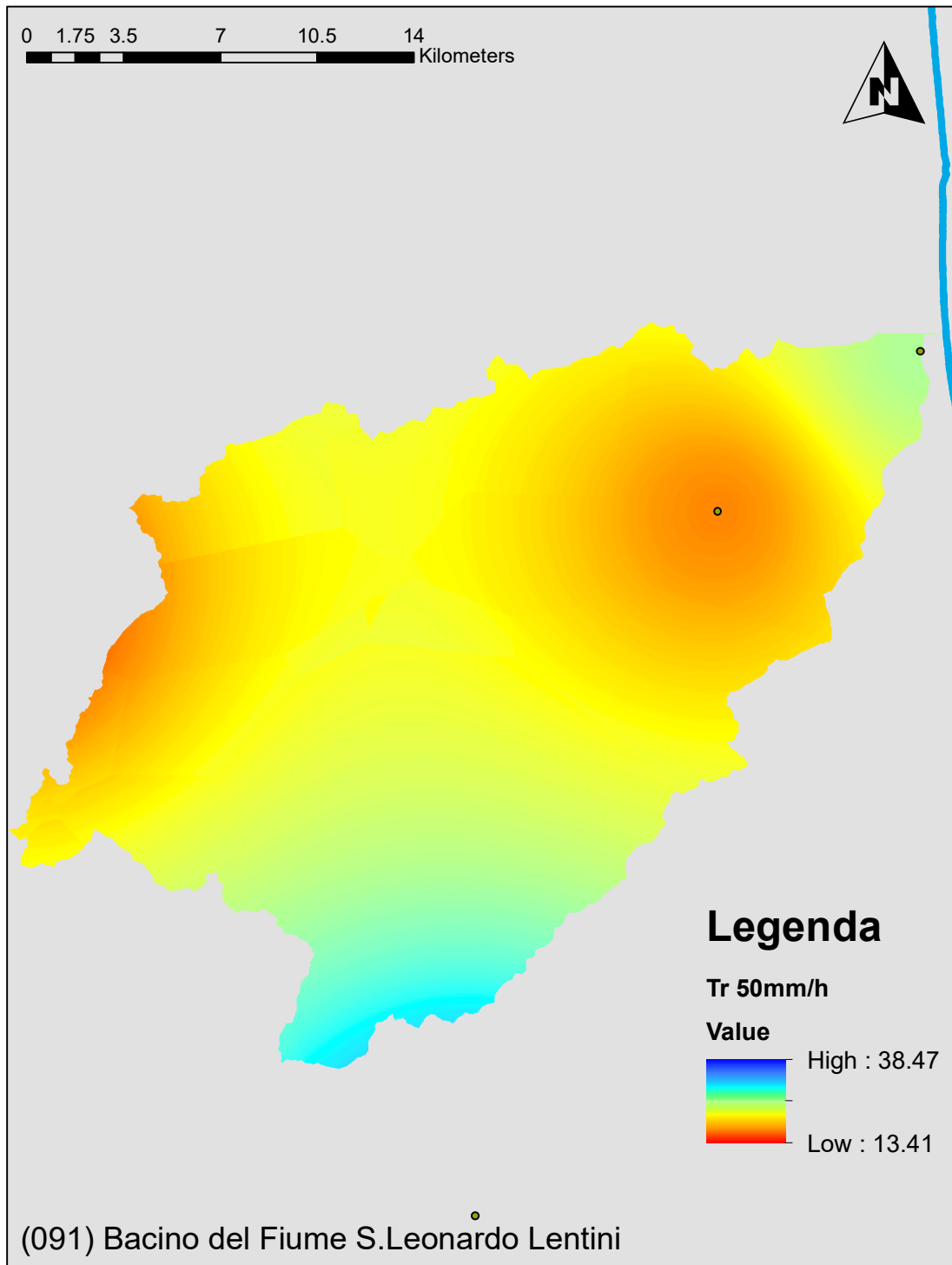


Figura 7 Tempo di ritorno della pioggia indice per il rischio di piene lampo nello scenario attuale (anni)

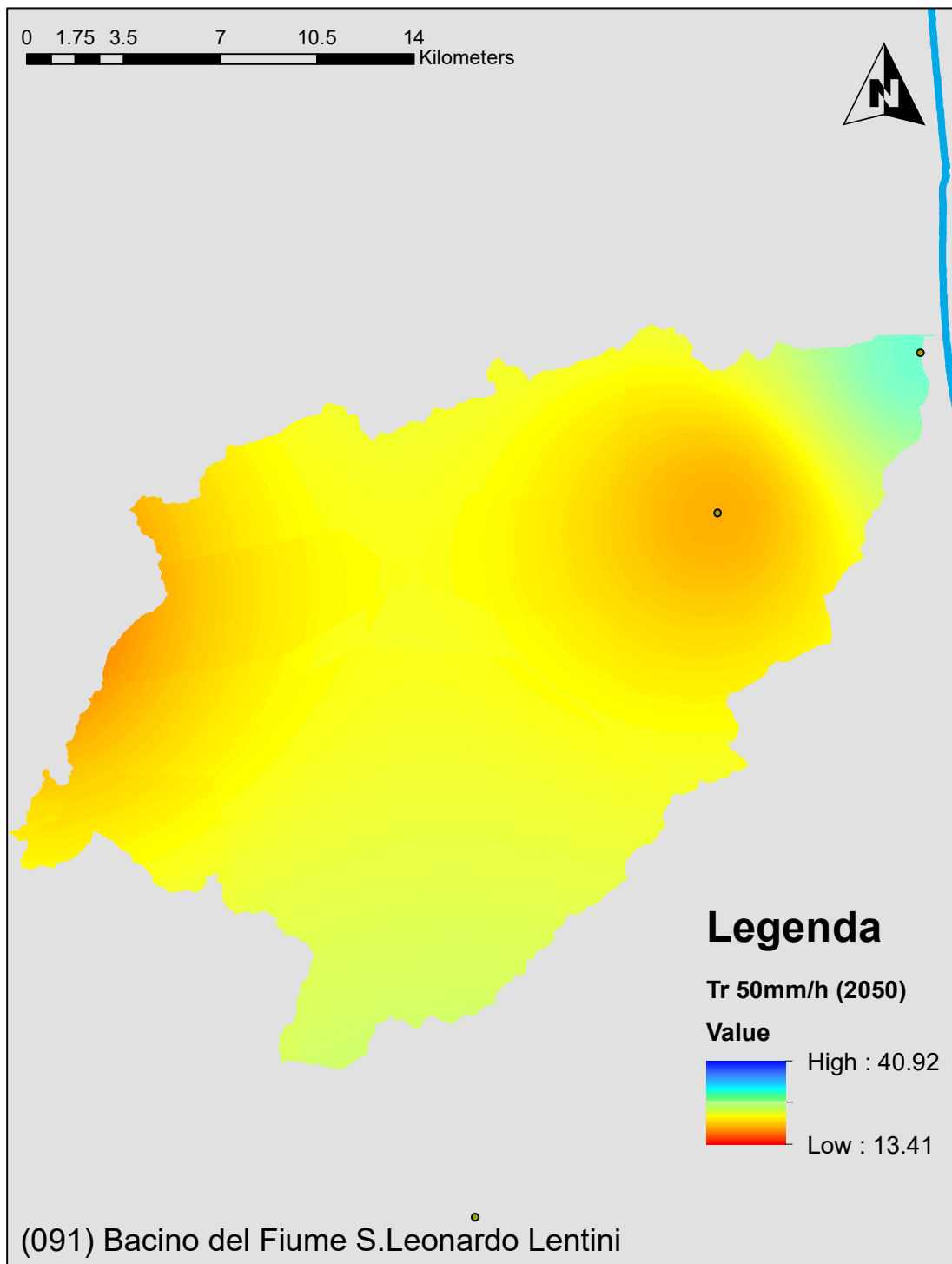


Figura 8 Tempo di ritorno della pioggia indice per il rischio di piene lampo nello scenario di medio termine al 2050 (anni)

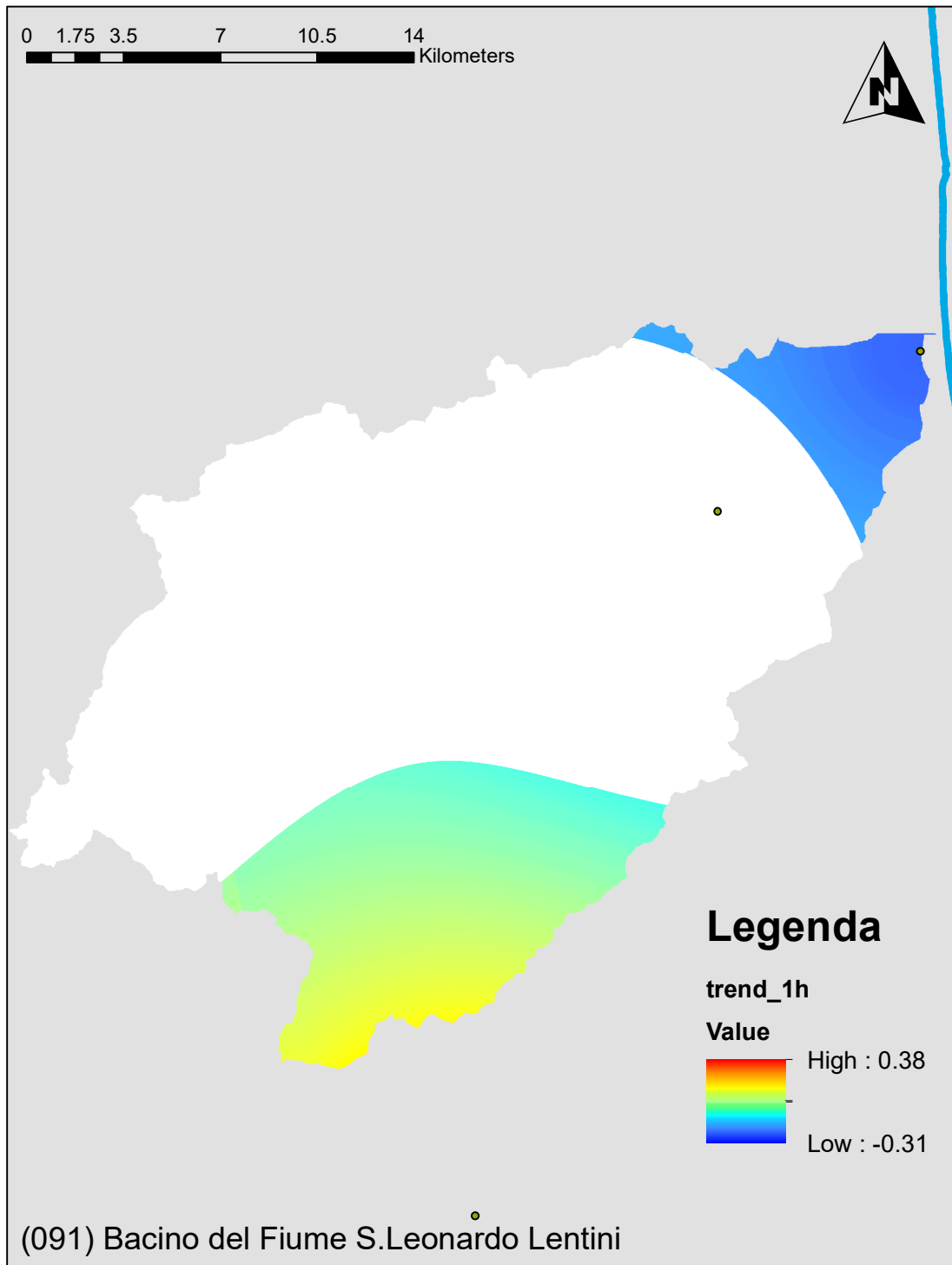


Figura 9 Trend climatico sulle piogge intense di fissata durata pari ad 1 h (mm/anno)

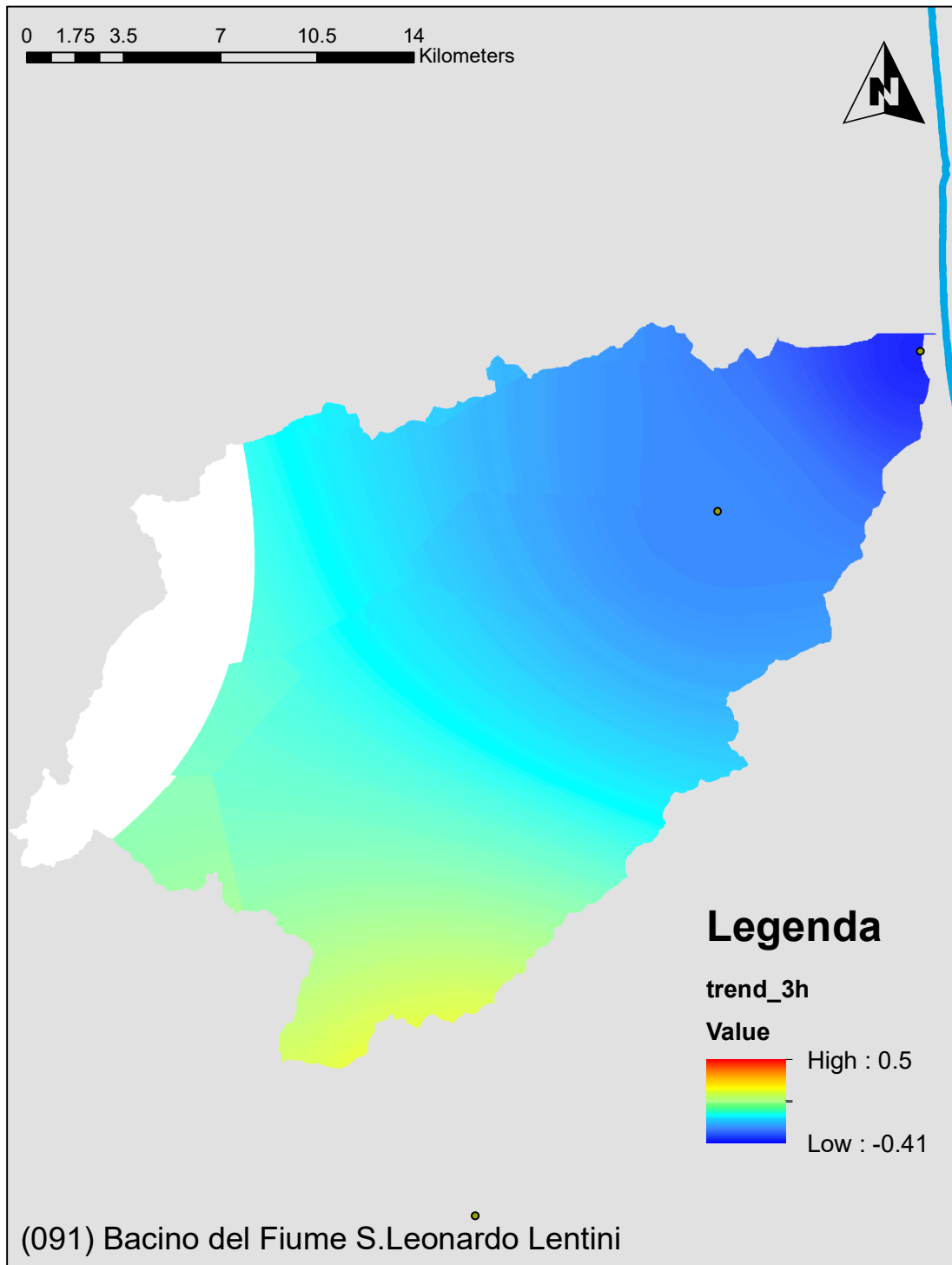


Figura 10 Trend climatico sulle piogge intense di fissata durata pari ad 3 h (mm/anno)

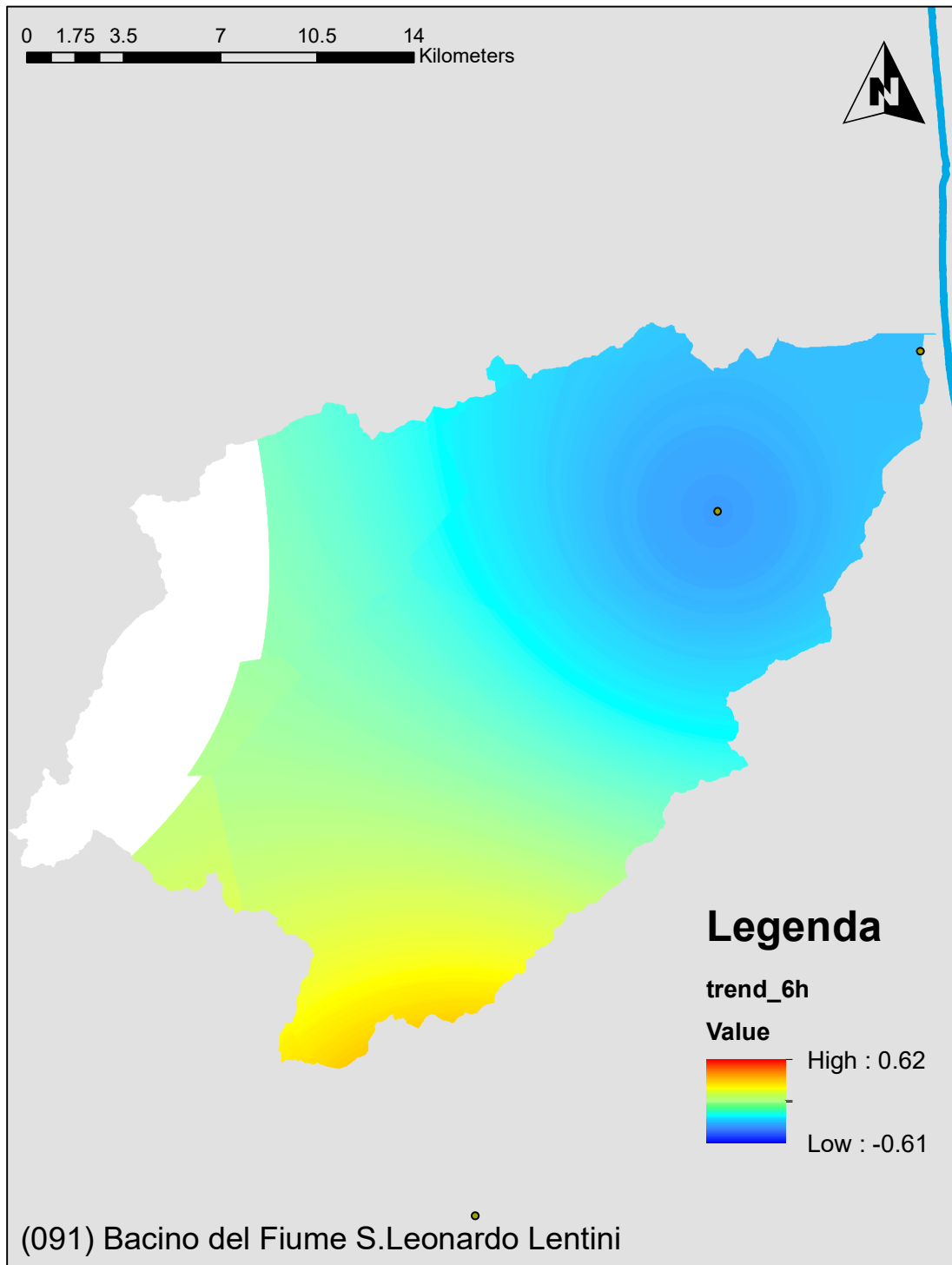


Figura 11 Trend climatico sulle piogge intense di fissata durata pari ad 6 h (mm/anno)

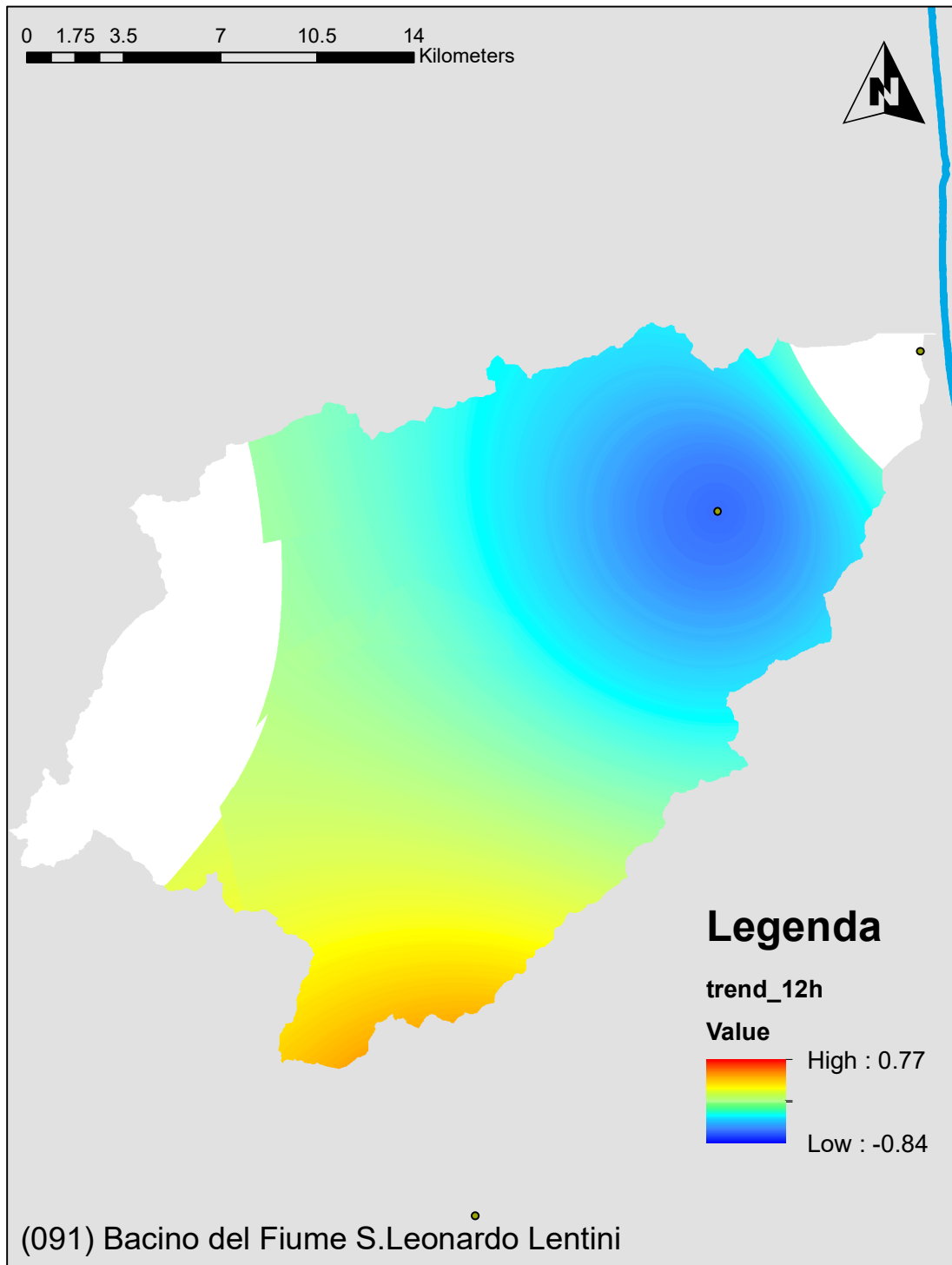


Figura 12 Trend climatico sulle piogge intense di fissata durata pari ad 12 h (mm/anno)

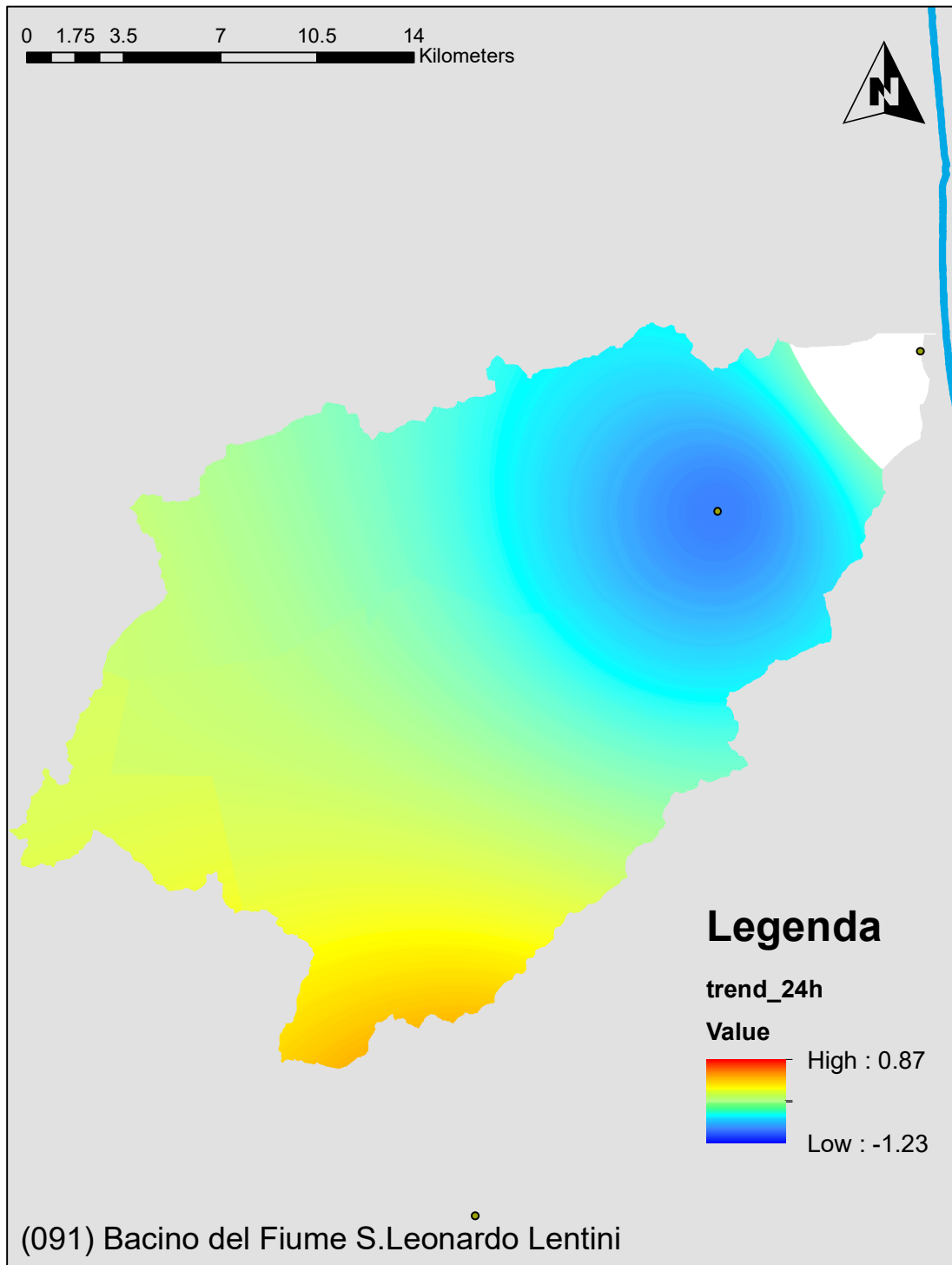


Figura 13 Trend climatico sulle piogge intense di fissata durata pari ad 24 h (mm/anno)

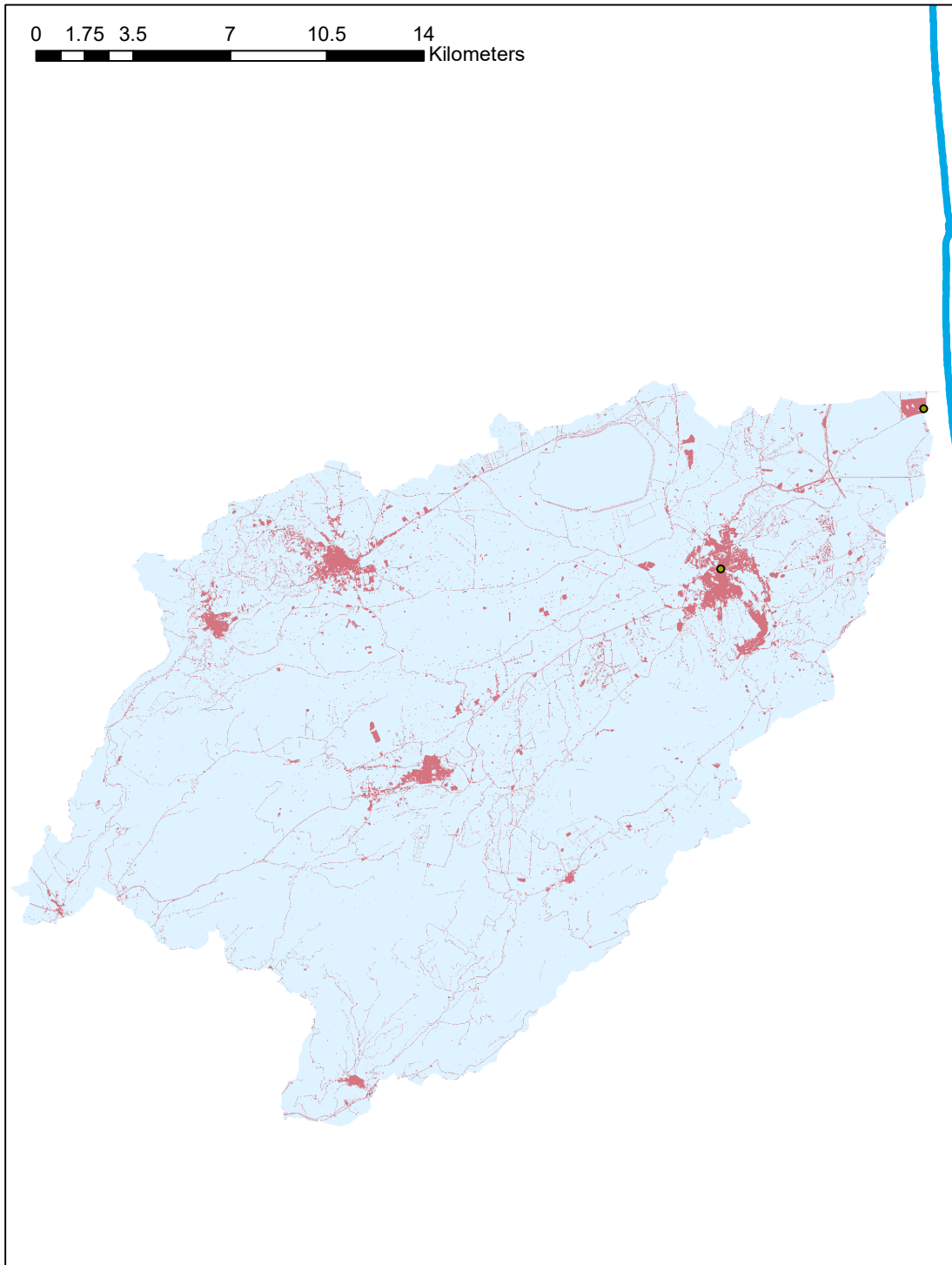


Figura 14 Suolo consumato al 2019 (-)

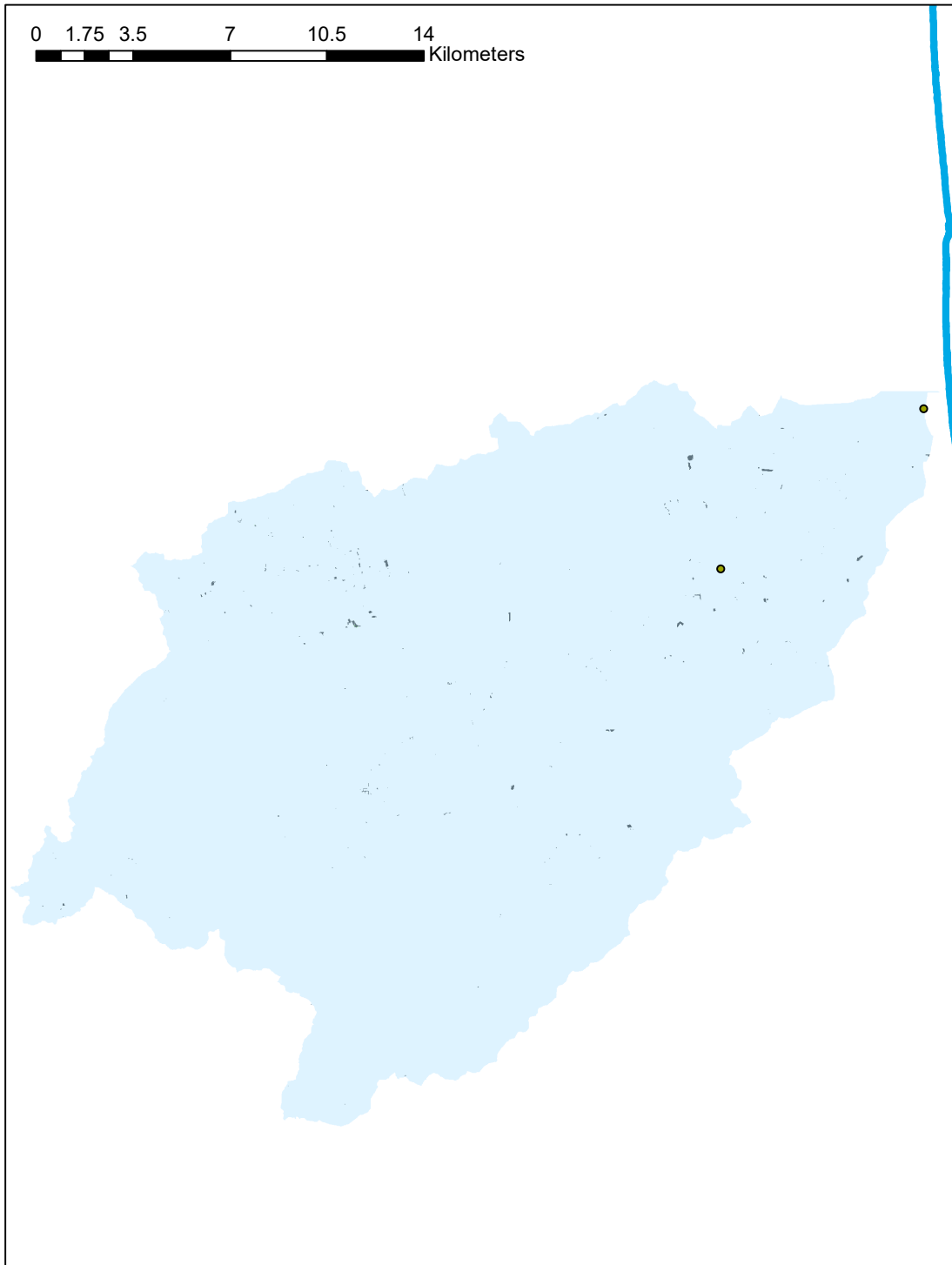


Figura 15 Variazione del suolo consumato nel periodo 2012 – 2019: in verde le aree ripristinate a suolo naturale; in nero le aree consumate nel periodo di riferimento (-)

4 Valutazione della suscettibilità dei bacini alle piene lampo

Sulla base della metodologia Arno (*Brugioni et al.*, 2010), sono stati individuati 4 fattori predisponenti e ciascun fattore suddiviso in 4 classi di suscettibilità.

L'area dei sottobacini

- Minore di 3 km² – Classe 4 (Suscettibilità Molto Elevata)
- Da 3 a 5 km² – Classe 3 (Suscettibilità Elevata)
- Da 5 a 7 km² – Classe 2 (Suscettibilità Moderata)
- Maggiore di 7 km² – Classe 1 (Suscettibilità Bassa)

Il tempo di Lag del sottobacino valutato sulla base delle formulazioni proposte da Brugioni et al. (2010)

- Minore di 0.6 h – Classe 4 (Suscettibilità Molto Elevata)
- Da 0.6 h a 1.2 h – Classe 3 (Suscettibilità Elevata)
- Da 1.2 h a 2 h – Classe 2 (Suscettibilità Moderata)
- Maggiore di 2 h – Classe 1 (Suscettibilità Bassa)

Il tempo di ritorno della pioggia intensa indice (50 mm in un'ora)

- Minore di 20 anni – Classe 4 (Suscettibilità Molto Elevata)
- Da 20 a 23.5 anni – Classe 3 (Suscettibilità Elevata)
- Da 23.5 a 27 anni – Classe 2 (Suscettibilità Moderata)
- Maggiore di 27 anni – Classe 1 (Suscettibilità Bassa)

Grado di consumo del suolo

- Maggiore del 30% – Classe 4 (Suscettibilità Molto Elevata)
- Da 20% al 30% – Classe 3 (Suscettibilità Elevata)
- Da 10% al 20% – Classe 2 (Suscettibilità Moderata)
- Minore del 10% – Classe 1 (Suscettibilità Bassa)

Le tavole relative ai 4 fattori sono stati riportate nel seguito. La figura 11 riporta la media pesata dei 4 fattori attribuendo ciascun bacino ad una differente classe di suscettibilità.

Il valore del tempo di lag è funzione del tempo di corrivazione che è a sua volta è stato calcolato con le molteplici formulazioni proposte in letteratura e che di seguito sono riportate.

$$\text{Giandotti} = (4 \cdot A^{0.5} + 1.5 \cdot L) / (0.8 \cdot (Q_{\text{med}} - Q_{\text{min}})^{0.5})$$

$$\text{Kirpick} = 0.000325 \cdot (L \cdot 1000)^{0.77} \cdot i_b^{-0.385}$$

$$\text{Johnstone and Cross} = (3.258 \cdot (D_{\text{max}} / i_b)^{0.5}) / 60$$

$$\text{California Culvert Practice} = ((11.9 \cdot (L \cdot 0.621371)^3) / ((Q_{\text{max}} - Q_{\text{min}}) \cdot 3.28084))^{0.385}$$

$$\text{NRCS SCS} = (((1000 / \text{CN}) - 9)^{0.7} \cdot (D_{\text{max}} \cdot 1000)^{0.8}) / (441 \cdot (i_b \cdot 100)^{0.5})$$

$$\text{Pezzoli} = 0.055 \cdot L / i_a^{0.5}$$

$$\text{Puglisi} = 6 \cdot \text{LunghezzaAsta}^{2/3} \cdot (Q_{\text{max}} - Q_{\text{min}})^{-1/3}$$

$$\text{Ventura} = 0.1272 \cdot (A / i_a)^{0.5}$$

$$\text{Tournon} = ((0.396 \cdot L) / (i_a)^{0.5}) \cdot ((A / L^2) \cdot (i_a) / i_b)^{0.5})^{0.72}$$

$$\text{Pasini} = 0.108 \cdot ((A \cdot L)^{1/3}) / (i_a)^{0.5}$$

$$\text{Viparelli} = L / (3.5 \cdot 1.5)$$

Dove:

- A [Km²], Area del bacino idrografico
- L [Km], Lunghezza dell'asta principale
- Q_{max} [m], Quota massima del bacino idrografico
- Q_{med} [m], Quota media del bacino idrografico
- Q_{min} [m], Quota minima del bacino idrografico
- CN [0-100], Curve Number
- D_{max} [Km], Distanza massima tra lo spartiacque e la sezione di chiusura
- i_b [m/m], Pendenza media del bacino idrografico
- i_a [m/m], Pendenza media dell'asta principale
- V, Velocità media di deflusso all'interno dei canali, i valori suggeriti dell'autore sono compresi tra [1;1.5] m/s, nell'applicazione online si assume il limite superiore.
- P[Km], Perimetro del bacino idrografico

I fattori relativi alla variabile climatica ed al consumo di suolo sono stati rivalutati anche sulla base dello scenario al 2050 adottando i trend stimati nella relazione generale offrendo così anche un quadro evolutivo della situazione nel corso del prossimo trentennio (Figure 20, 21 e 22).

La Tabella 1 mostra gli indicatori numerici dei 4 criteri per ciascun sottobacino che conducono alla divisione in classi rappresentata nelle figure.

L'analisi dei fattori morfologici evidenzia numerosi bacini che necessitano di attenzione per la modestia dell'area scolante e per le pendenze elevate che determinano bassi tempi di corrivazione. Il criterio sulle aree evidenzia numerosi bacini in classe 4 mentre il criterio sul time lag segnala solo diversi bacini in classe 3. I fattori climatici sono discriminanti tra i sottobacini ma posizionano comunque l'intero bacino nella 3 classi più alte di suscettibilità con tempi di ritorno delle piogge indice che risultano medio - bassi. Lo scenario si aggrava leggermente nel medio termine con un maggior numero di bacini che ricadono nelle classi 3 e 4. Il consumo di suolo sia al 2020 che nella proiezione al 2050 ricade principalmente in classe 1 a cui corrispondono percentuali minori del 10%, tuttavia sono presenti anche le altre. Nello scenario di suscettività al 2020, l'analisi complessivamente individua 4 sottobacini in classe 4 per il quale il rischio di piene lampo è molto elevato e per cui è opportuno procedere alla definizione di misure specifiche. Nello scenario al 2050, il livello di suscettività aumenta segnando il passaggio di alcuni sottobacini dalla classe 2 alla 3. I bacini a livello 4 di consumo di suolo restano tali in entrambi gli scenari e corrispondono a due diversi versanti di Carlentini.

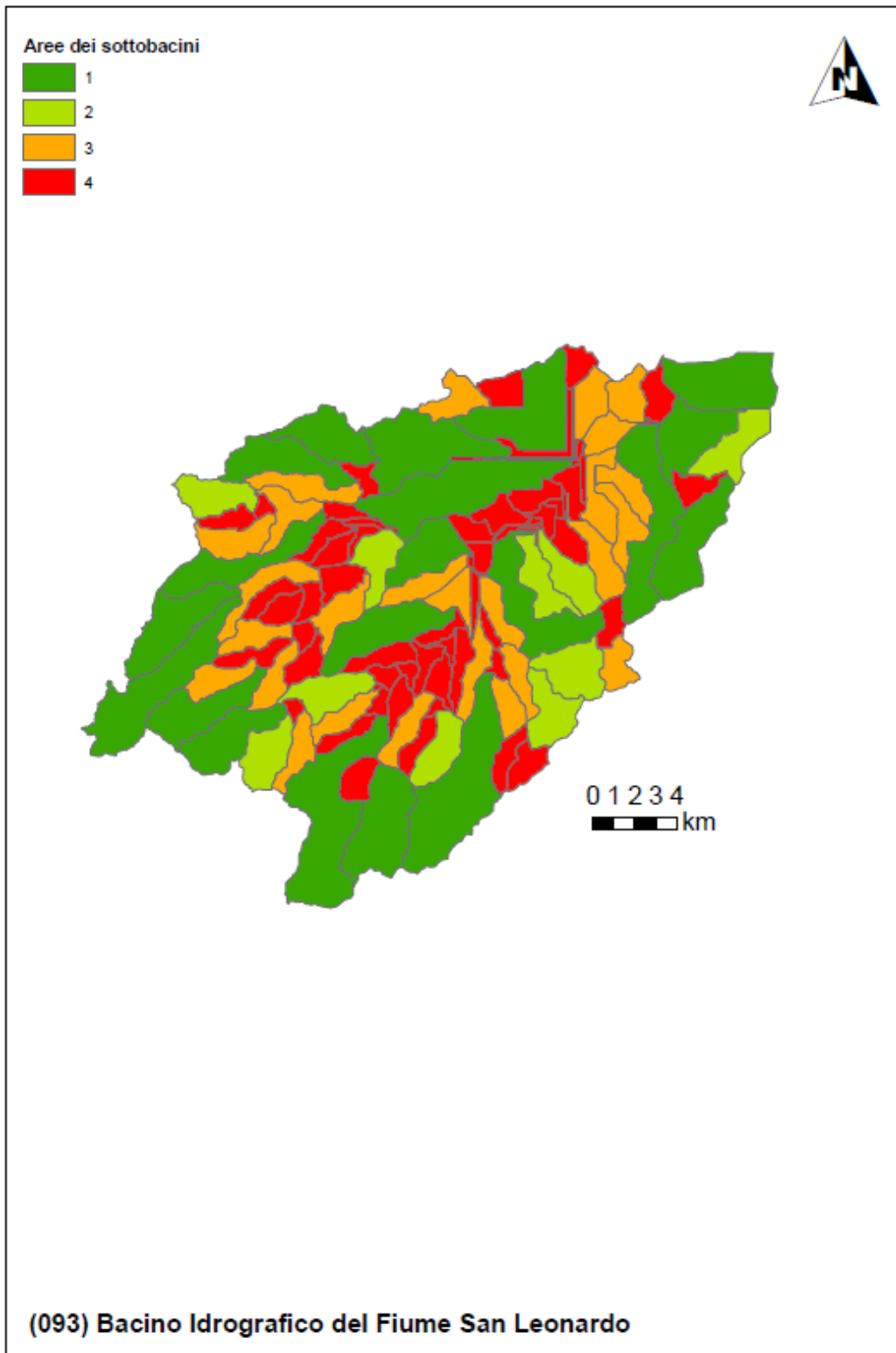


Figura 16 Fattore predisponente alle piene lampo legato all'area del sottobacino drenato

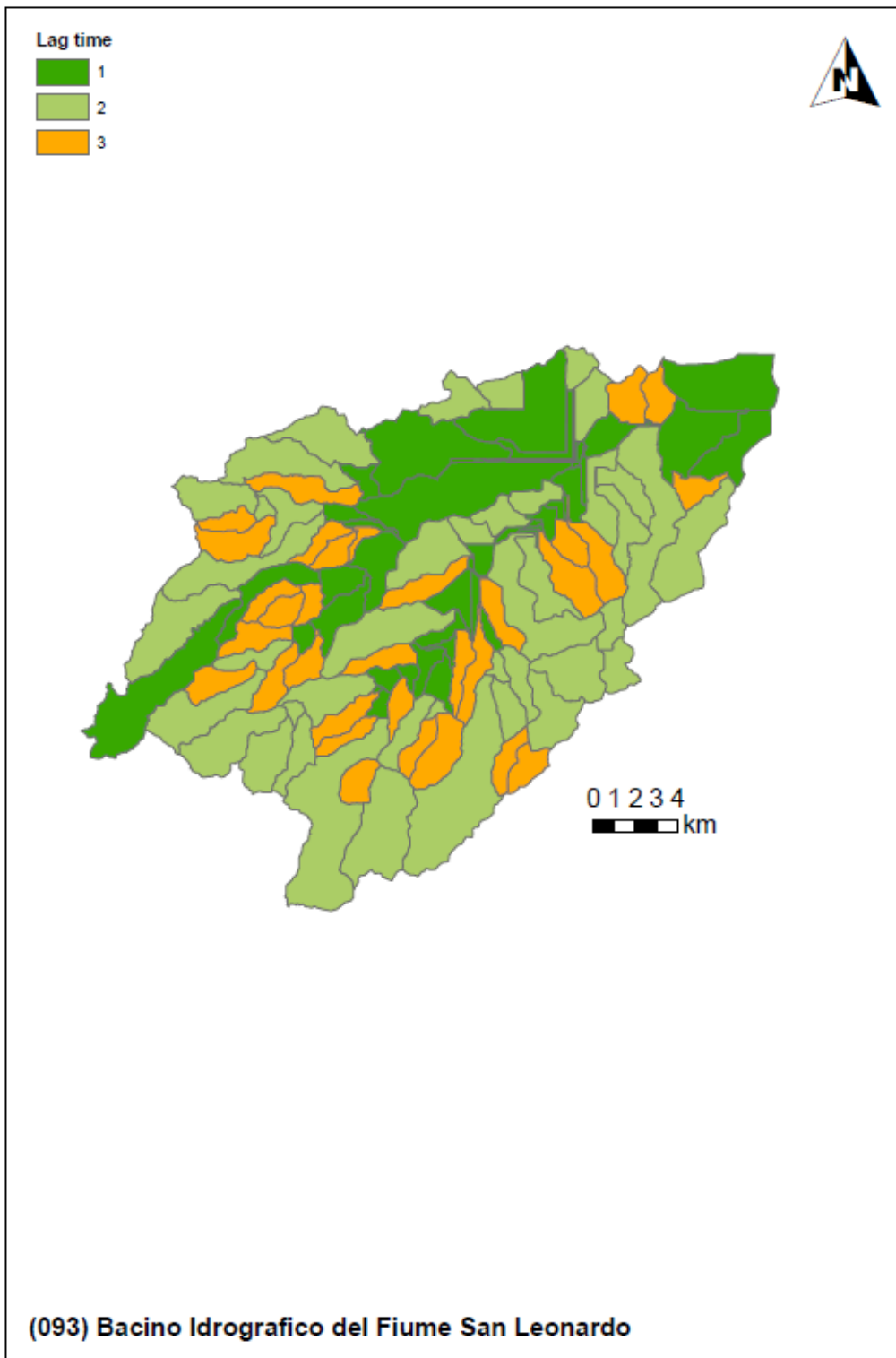


Figura 17 Fattore predisponente legato al tempo di lag del sottobacino drenato

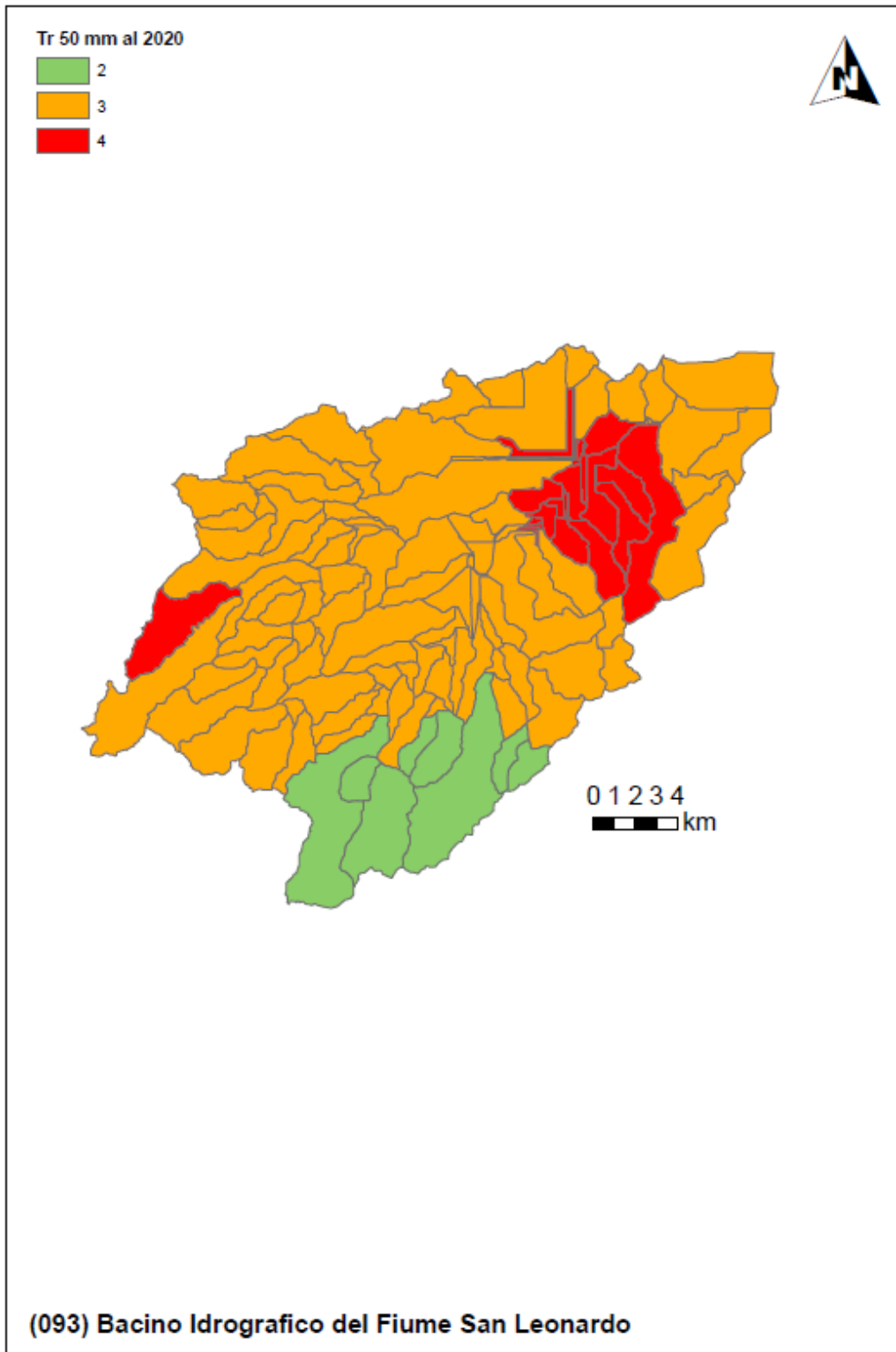


Figura 18 Fattore predisponente legato al tempo di ritorno della pioggia indice (Scenario Attuale)

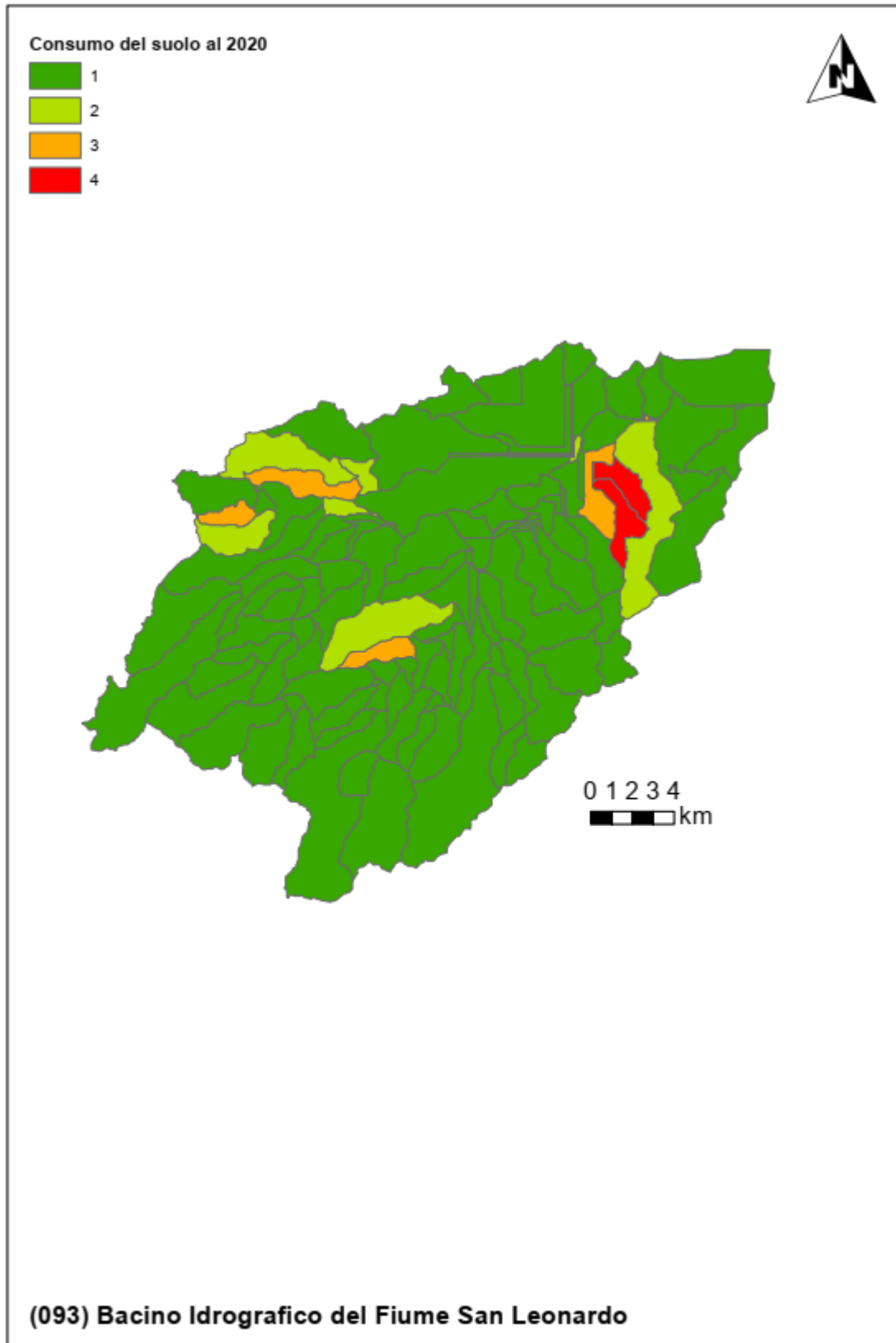


Figura 19 Fattore predisponente legato al consumo di suolo (Scenario Attuale)

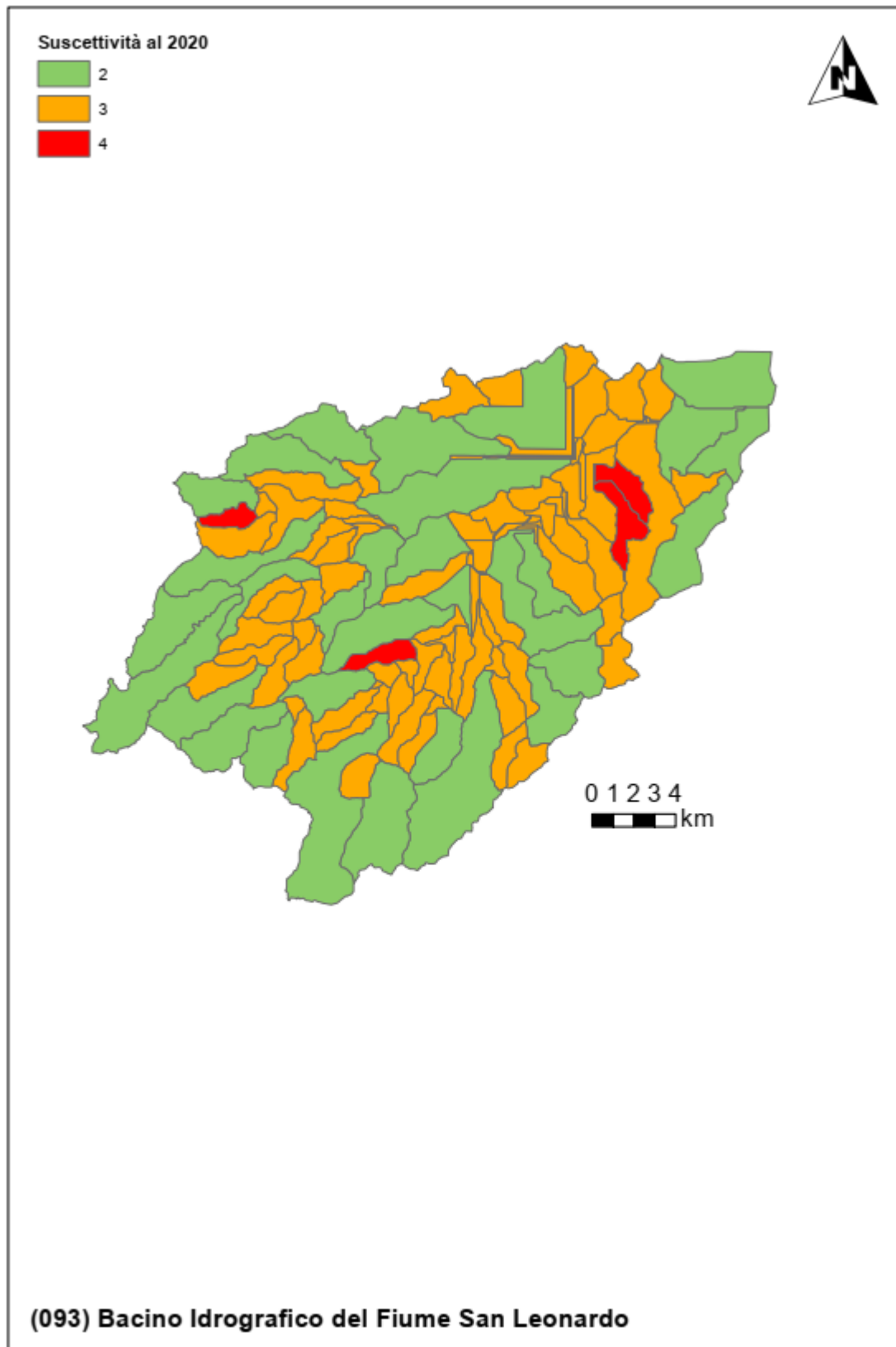


Figura 20 Sintesi della suscettibilità alle piene lampo (Scenario Attuale)

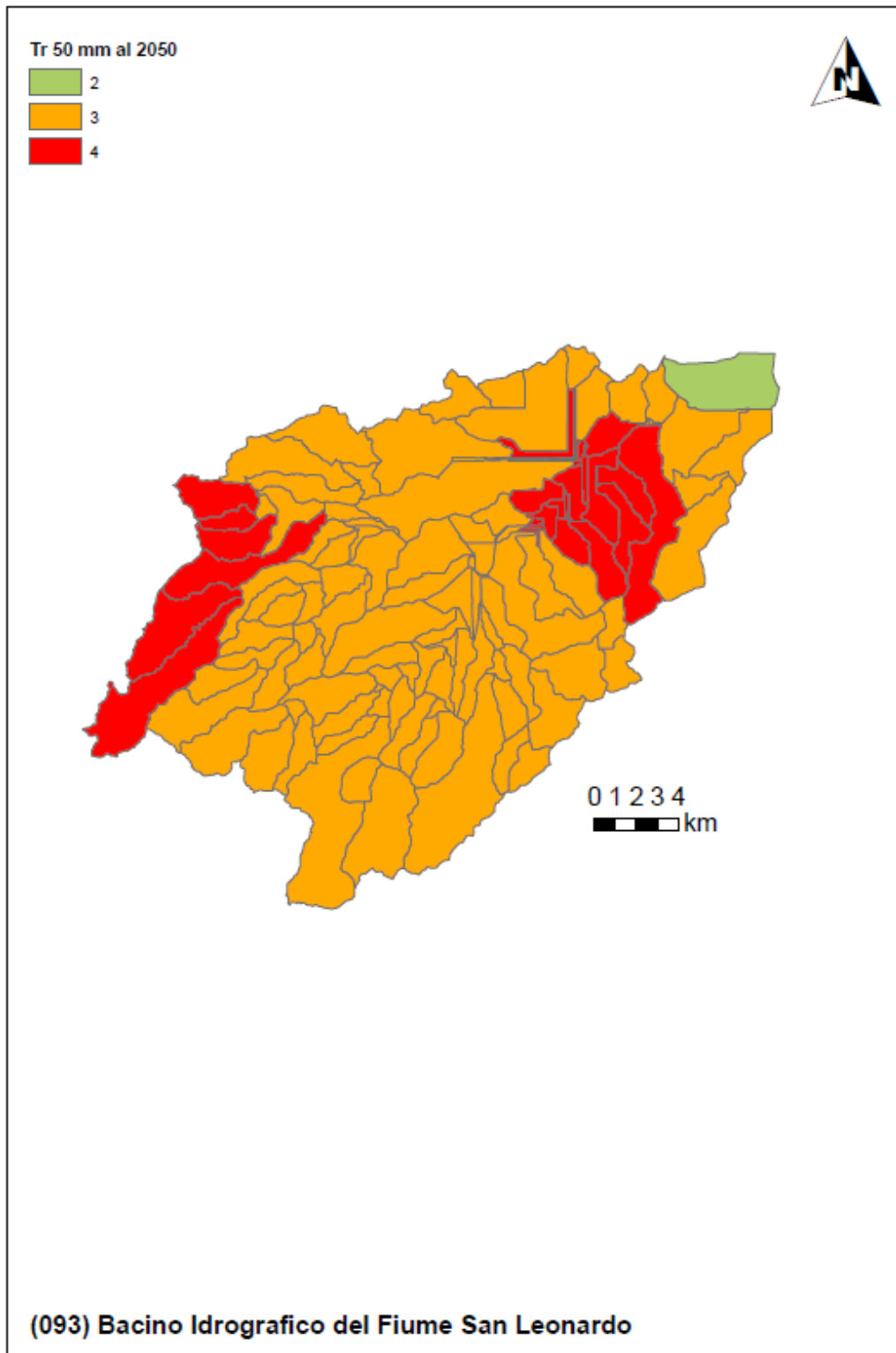


Figura 21 Fattore predisponente legato al tempo di ritorno della pioggia indice (Scenario al 2050)

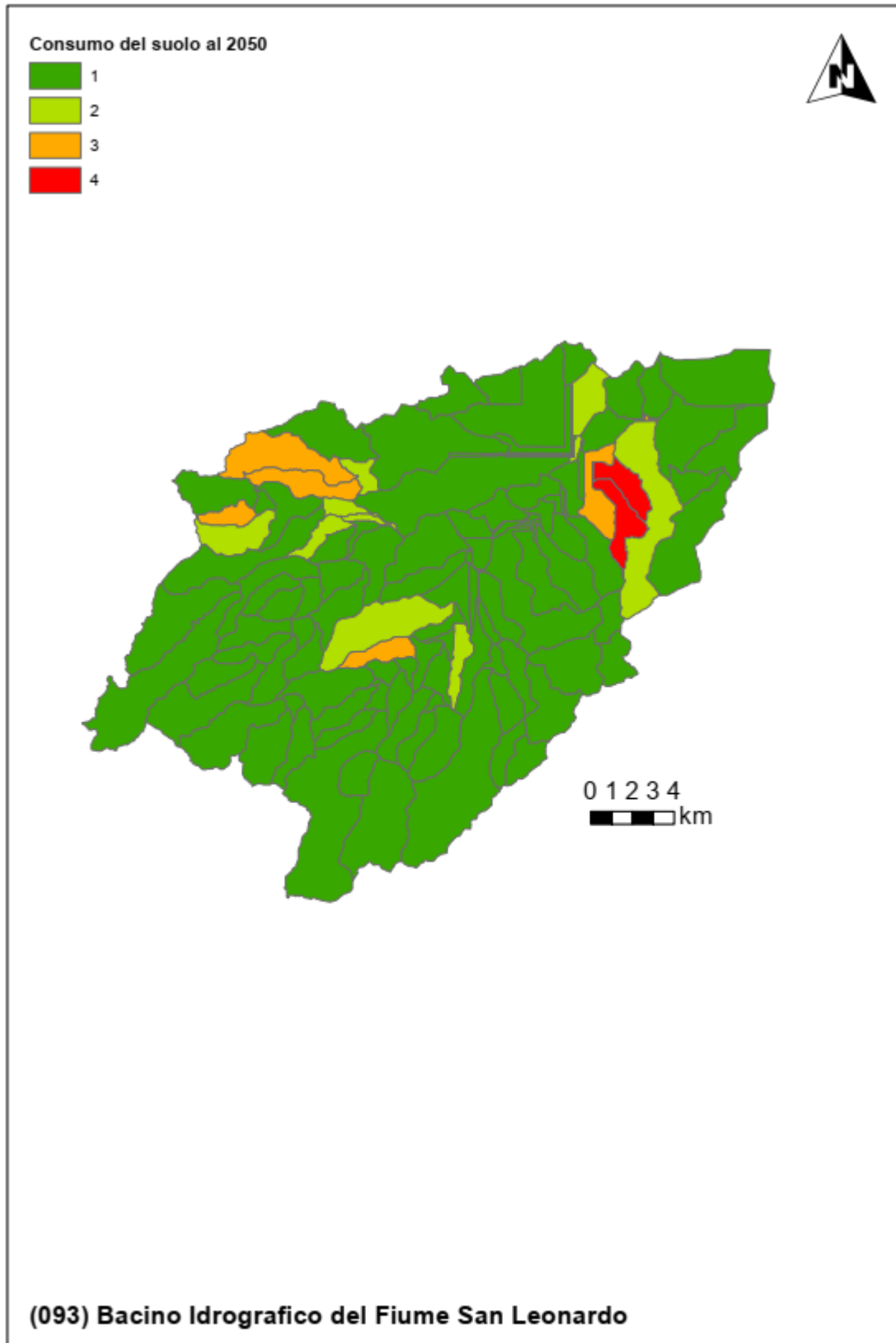


Figura 22 Fattore predisponente legato al consumo di suolo (Scenario al 2050)

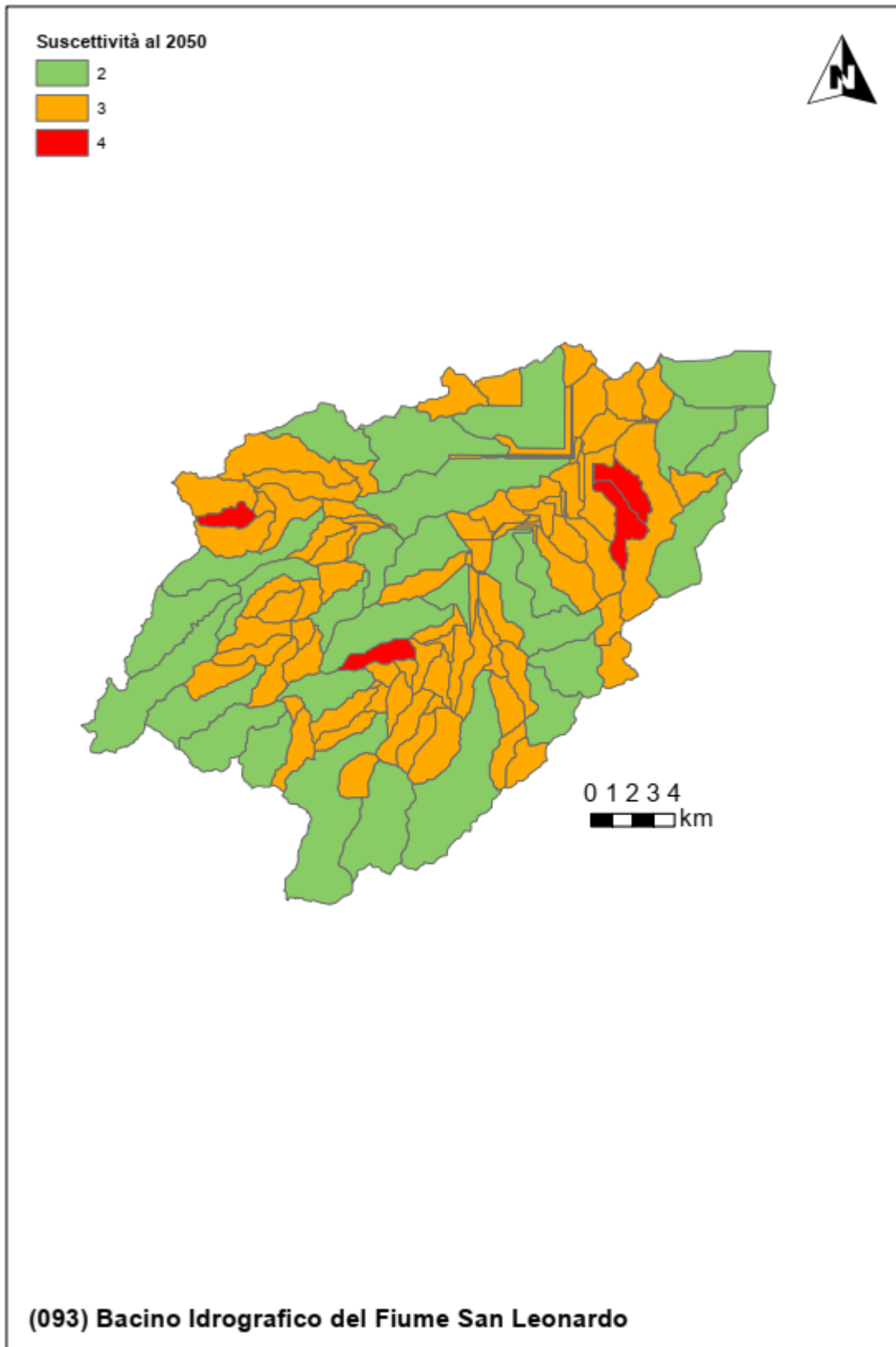


Figura 23 Sintesi della suscettibilità alle piene lampo (Scenario al 2050)

Tabella 1 Indicatori numerici relativi ai criteri di valutazione della suscettibilità alle piene lampo (Brugioni et al., 2010)

(093) Bacino Idrografico del Fiume San Leonardo

Valori, rispettivamente, dell'area, lag time, tempo di ritorno corrispondente alla pioggia di 50mm in 1 ora al 2020 e con proiezione al 2050 e consumo del suolo al 2020 e 2050 per ciascuno dei sottobacini.

IDs	Area [kmq]	Lag time [h]	Tempo di ritorno 50mm/1h al 2020 [anni]	Tempo di ritorno 50mm/1h al 2050 [anni]	Consumo del suolo 2020 [%]	Consumo del suolo 2050 [%]
1	10.20	1.72	19.53	18.97	2.62	2.62
2	15.19	2.06	20.64	19.93	3.14	3.34
4	2.23	1.34	21.04	21.21	5.52	5.53
5	4.06	1.60	21.36	21.25	5.11	5.11
6	2.92	1.58	21.02	21.04	4.70	4.71
7	13.38	3.60	20.55	20.59	2.59	2.72
8	4.06	1.34	20.23	20.39	8.64	13.40
9	7.78	1.57	21.76	21.21	6.78	7.07
10	2.24	5.50	19.94	19.98	2.95	2.95
11	8.66	1.40	21.38	20.72	18.90	20.15
12	3.08	9.64	19.45	19.53	2.63	3.64
13	0.66	6.54	20.27	20.25	1.72	1.72
14	4.33	1.38	18.94	18.96	25.77	27.90
15	0.47	9.72	19.80	19.80	4.22	5.88
16	14.33	3.39	21.36	21.11	3.45	3.56
17	0.38	12.84	19.26	19.29	10.23	13.80
18	0.65	12.22	19.00	19.02	2.64	2.64
19	1.72	2.04	281.30	275.26	11.38	16.30
20	5.59	1.60	20.11	19.50	5.64	7.25
21	4.76	1.15	215.02	208.49	27.19	29.15
22	2.30	9.23	38.26	38.29	6.34	6.34
23	2.51	1.44	19.71	19.69	4.58	4.58
24	0.25	17.61	19.24	19.24	4.15	4.15
25	0.46	24.74	19.37	19.36	3.20	3.20
26	1.50	2.42	21.49	20.94	10.08	10.51
27	0.80	1.25	21.00	20.32	6.90	8.08
28	2.11	0.94	20.19	19.62	26.40	27.02
29	4.05	1.54	21.14	20.50	5.97	6.42
30	2.72	1.31	20.33	20.22	5.67	5.67
31	0.21	16.38	19.81	19.77	1.90	2.26
32	2.52	0.94	19.55	19.53	5.25	5.86
33	1.18	6.43	19.62	19.59	7.03	7.03
34	2.01	1.23	20.79	20.58	2.88	5.50
35	0.46	8.77	304.49	302.67	3.04	3.04
36	17.78	6.87	20.83	20.62	2.47	2.50
37	0.18	3.45	39.69	39.58	1.77	1.77
38	0.95	1.18	21.54	20.95	3.79	3.83
39	0.72	4.42	21.52	20.99	3.78	12.14
40	2.24	0.96	21.36	20.73	3.93	11.33

Il bacino idrografico del Fiume San Leonardo (093)

41	0.27	3.16	19.95	19.88	2.96	2.96
42	4.58	1.14	19.67	19.65	3.94	5.88
43	2.09	0.87	150.31	145.74	1.48	1.48
44	4.80	1.20	20.14	19.60	11.10	11.12
45	7.10	1.43	21.42	20.99	2.08	2.42
46	1.49	7.19	1062.39	1049.94	4.58	4.61
47	0.01	20.09	41.84	41.29	0.00	0.00
48	0.21	8.83	21.01	20.71	2.73	2.73
49	5.26	1.19	20.14	20.04	1.91	1.91
50	9.32	1.65	20.13	19.57	4.15	4.28
51	5.03	3.17	43.44	42.26	2.03	2.14
52	1.07	3.09	21.33	20.92	3.88	3.88
53	2.90	2.84	21.76	21.06	1.94	2.07
54	3.85	1.15	151.43	147.62	7.29	7.78
55	3.31	1.14	21.32	20.90	3.13	3.18
56	2.28	1.08	21.05	20.33	0.88	0.88
57	1.80	1.16	21.65	20.91	2.97	2.97
58	5.25	1.28	20.47	20.30	5.84	6.64
59	4.67	2.37	125.48	121.36	2.00	2.00
60	2.38	1.02	21.42	20.65	1.49	1.49
61	0.03	4.08	21.23	20.87	2.19	2.19
62	3.13	4.33	21.49	21.00	7.75	8.01
63	1.58	3.03	21.84	21.16	7.64	7.64
64	4.09	2.14	21.77	21.06	5.46	5.46
65	2.57	1.19	22.21	21.32	7.90	10.52
66	3.37	1.06	21.23	20.44	2.17	2.17
67	11.76	1.80	20.96	20.66	2.57	2.85
68	10.18	1.62	21.96	21.19	12.84	13.62
69	0.01	3.61	43.28	41.70	0.00	0.00
70	1.21	2.13	21.69	20.91	3.47	3.47
72	2.71	0.94	22.03	21.09	1.87	2.04
73	0.75	3.04	22.01	21.24	6.53	6.53
74	0.98	2.60	107.63	104.95	1.49	1.83
75	6.97	1.38	21.71	21.14	2.11	2.43
76	2.95	0.93	22.28	21.34	21.50	21.86
77	3.51	1.17	22.21	21.32	3.97	3.97
78	1.90	2.77	22.33	21.38	6.93	6.93
79	2.78	1.55	85.71	82.35	0.60	0.60
80	3.05	1.52	22.05	21.25	1.98	2.21
81	0.94	1.90	21.99	21.22	1.21	1.21
82	0.83	2.59	44.94	42.88	2.18	3.95
84	3.29	1.03	21.95	20.98	1.79	2.00
85	3.04	1.55	22.62	21.51	7.50	8.05
86	3.56	1.07	21.27	20.39	0.98	0.98
87	1.25	2.43	22.52	21.44	4.38	4.77
88	2.17	1.17	22.93	21.62	2.65	2.65
89	0.13	2.17	204.07	193.51	0.00	0.00
90	2.24	2.33	135.04	128.75	5.07	5.07
91	3.09	1.09	23.00	21.60	2.03	2.14
92	5.94	2.00	22.56	21.39	2.74	2.87

93	0.51	1.25	22.94	21.63	3.29	3.29
94	0.74	1.60	22.55	21.34	3.70	3.70
95	8.74	1.60	21.54	20.55	1.79	2.04
99	8.44	1.47	22.42	21.13	2.34	2.36
101	5.81	1.21	23.07	21.56	1.40	1.40
102	3.40	1.31	23.29	21.69	2.06	2.06
103	1.00	2.43	22.91	21.60	2.62	2.62
104	3.53	1.83	23.37	21.78	0.80	0.80
105	2.39	0.91	23.63	21.88	1.70	1.70
106	5.21	0.97	23.73	21.92	2.72	2.76
107	20.51	1.59	24.53	22.16	2.65	2.72
108	6.03	1.26	22.48	21.46	1.61	2.21
110	12.06	8.62	348.33	366.02	7.39	7.67
111	2.96	1.04	21.20	21.68	6.15	9.82
112	3.75	1.00	20.58	20.88	4.51	4.60
113	8.88	7.39	21.18	21.72	7.92	8.19
114	0.08	21.26	20.09	20.32	6.98	6.98
115	0.10	27.47	20.28	20.55	25.15	25.15
118	6.14	2.37	22.19	23.00	5.84	6.02
119	3.49	1.21	18.84	18.85	50.58	52.33
120	2.52	0.88	20.24	20.49	8.87	9.65
121	4.04	1.25	19.09	19.11	31.93	32.04
122	10.24	1.51	20.35	20.49	4.43	5.50
124	13.72	1.97	58.86	58.98	12.51	13.02
125	2.33	1.44	62.32	61.72	2.83	2.83
127	3.13	1.20	21.53	21.11	1.46	1.46
135	2.04	0.91	23.29	21.72	0.26	0.26
140	2.50	0.90	23.60	21.88	1.04	1.04
143	2.80	1.01	23.59	21.89	2.27	2.27
145	2.94	0.86	24.19	22.06	0.74	0.74
148	12.30	1.48	25.34	22.43	3.18	3.21
149	20.55	1.42	24.82	22.27	3.65	3.66

5 Valutazione della suscettibilità delle piene ai trend climatici

Per quanto riguarda i tratti fluviali i cui bacini sono caratterizzati da tempi di corrivazione superiore all'ora si è proceduto ad un'ulteriore analisi dell'impatto dei trend climatici sul rischio. Per questi casi, l'utilizzo della variabile idrologica proposta dal metodo Arno (Brugioni et al., 2010) non risulta congrua rispetto ai tempi di corrivazione del bacino e, di conseguenza, in questi casi si è preferito stimare il trend climatico medio per durate prossime al tempo di corrivazione. Quest'ultimo è stato stimato attraverso le formulazioni proposte dal metodo Arno calcolando il valore medio delle sole formule empiriche che risultano compatibili con le caratteristiche morfologiche del bacino.

Nel caso in cui il tempo di corrivazione del bacino sia intermedio rispetto a due durate di cui si dispone dell'analisi idrologica, il trend è stato valutato tramite interpolazione tramite legge di potenza.

La seguente figura mostra, nello scenario climatico di medio termine (2050), e per ciascuna sezione di chiusura (individuata con inter-distanza minima pari a 10 m) la variazione percentuale media delle piogge intense per durate assimilabili al tempo di corrivazione dell'area drenata.

L'analisi mostra un trend globalmente positivo sulle piogge intense ma con vaste aree del bacino che non presentano trend significativi per le durate di maggiore interesse. Di conseguenza, è prevedibile che le portate di piena debbano crescere seguendo il possibile sviluppo dell'attuale trend climatico ma con variazioni modeste. In termini quantitativi, l'impatto può definirsi modesto nel tratto terminale del reticolo idrografico e in buona parte della porzione intermedia del bacino; il trend risulta moderato soltanto in alcuni tratti montani più prossimi alle aree dove maggiore è la variazione delle piogge intense di durata prossima al tempo di corrivazione.

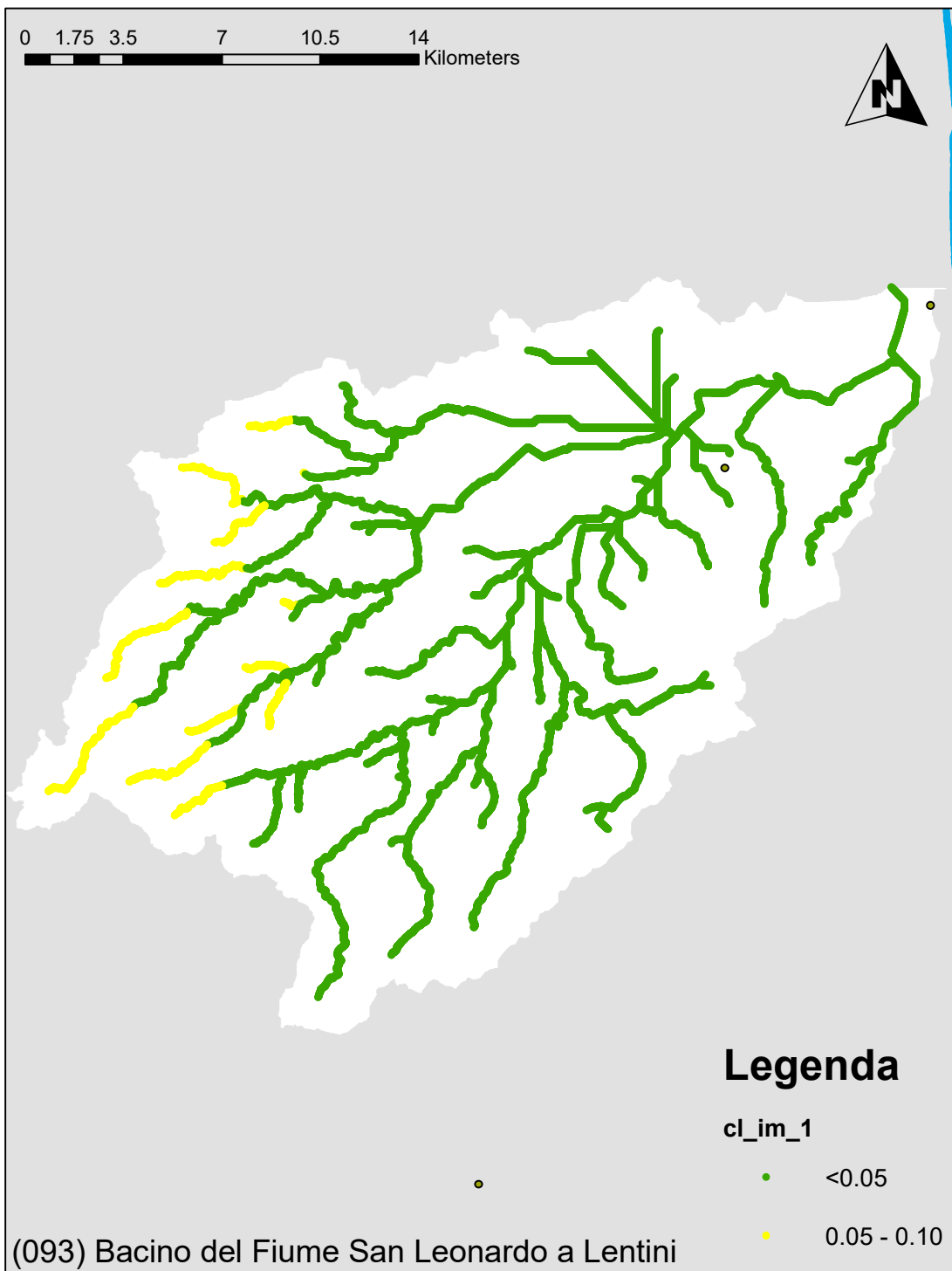


Figura 24 Variazione climatica nel periodo 2020 – 2050 per i picchi annuali di pioggia di massima intensità e durata pari al tempo di corrivazione dell'area drenata

6 Modifiche alle misure di piano

6.1 Aggiornamento della valutazione dei punteggi tecnici alle misure inserite nel piano in relazione alla valutazione del cambiamento climatico

L'analisi della suscettibilità del bacino alle piene lampo evidenzia già allo stato attuale un quadro di suscettibilità elevata o molto elevata soprattutto dei bacini urbani (Carlentini, Francofonte, Scordia e Militello). Tale condizione, sebbene l'analisi evidenzi trend climatici statisticamente significativi ed una progressiva crescita del consumo di suolo, sembra soggetta a modeste variazioni che non portano ad un ulteriore aggravamento dei rischi ma che conferma il quadro evidente dall'analisi nelle condizioni attuali.

Il quadro d'impatto del cambiamento climatico sui bacini a maggiore tempo di corrivazione evidenzia trend climatici significativi e positivi con una moderata crescita, solo in alcuni sottobacini montani, della media delle piogge di massima intensità e durate paragonabili con i tempi di corrivazione delle aree drenate.

Le misure previste dal piano già prevedono interventi non strutturali per la prevenzione del rischio alluvioni e misure di preparazione e protezione tra cui il monitoraggio delle variabili climatiche, i sistemi di allerta e la segnalazione delle aree fluviali a maggiore rischio.

Alla luce dell'analisi svolta e dell'aggiornamento dei punteggi tecnici previsti dal Piano, si ritiene in questa sede di confermare il quadro delle misure adottate.

6.2 Proposta di nuove misure per la mitigazione delle piene lampo e dell'impatto del cambiamento climatico

L'analisi della suscettibilità del bacino alle piene lampo suggerisce di **concentrare lo sviluppo di sistemi di monitoraggio, allertamento e segnalazione del pericolo nei bacini ad alta suscettibilità** evidenziati dallo scenario attuale e sostanzialmente confermati dallo scenario a medio termine. Tale misura va concentrata nelle 4 maggiori aree urbane (Carlentini, Scordia, Militello e Francofonte) del bacino che manifestano una particolare sinergia tra fattori morfologici, antropici e climatici (Figura 25).

Tali interventi andranno tarati sulla previsione di eventi di breve e brevissima durata che maggiormente influiscono sul rischio di piene lampo.

In considerazione del fatto che la variazione climatica sulle piogge intense risulta modesta nello scenario 2050 non si ritiene di proporre in questa sede l'applicazione di norme specifiche per la rivalutazione della pericolosità e del rischio idraulico e per la progettazione delle opere di mitigazione e salvaguardia.

Si rimanda comunque al successivo ciclo di aggiornamento del Piano per la rivalutazione dei trend climatici, alla luce dei nuovi dati che saranno disponibili, e l'eventuale imposizione di specifici vincoli.

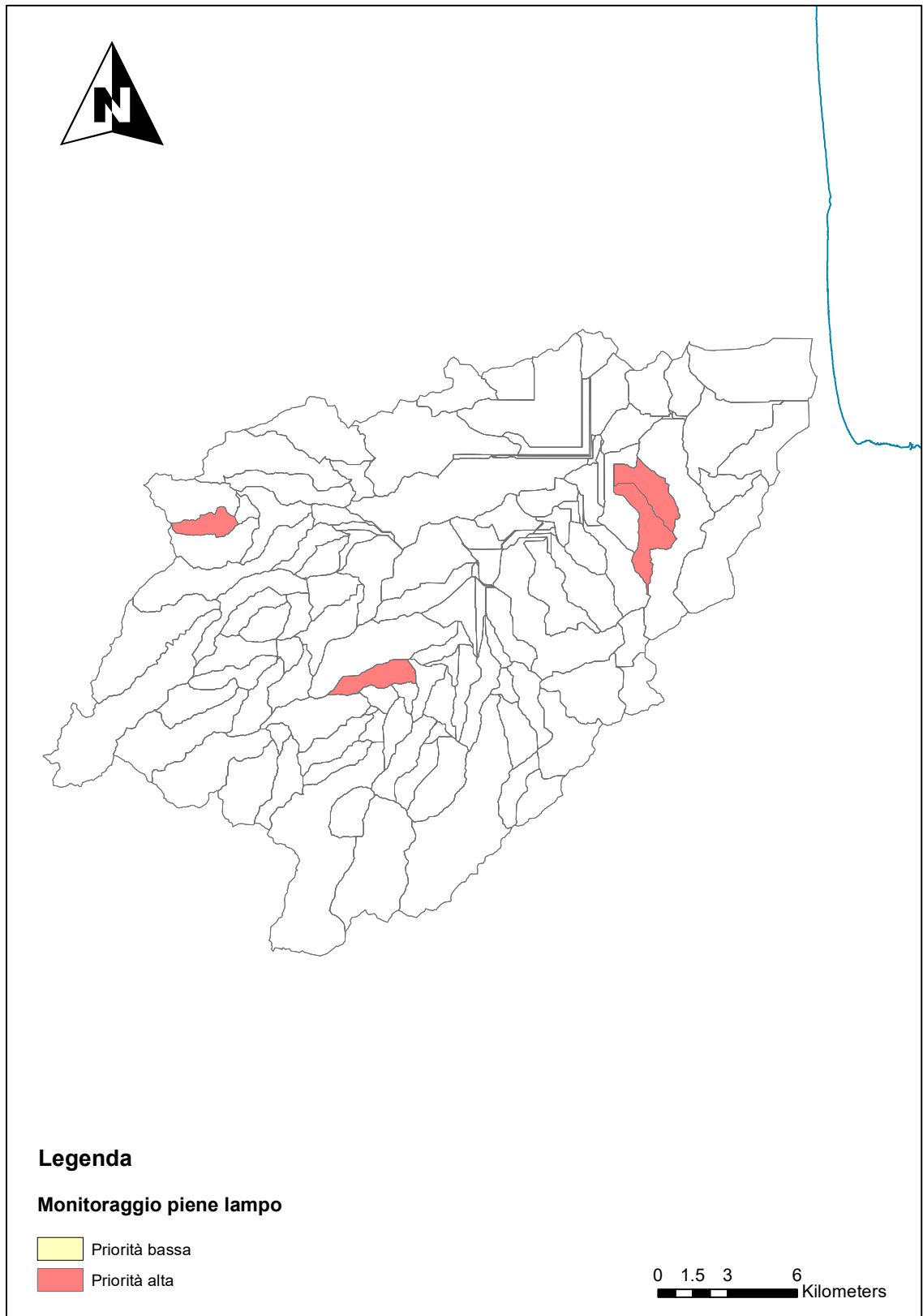


Figura 25 Aree su cui applicare le misure di monitoraggio delle piene lampo

